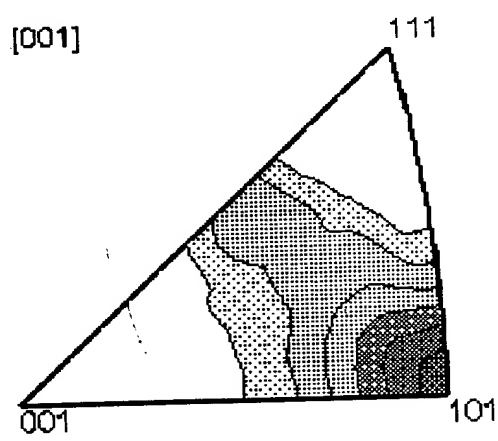


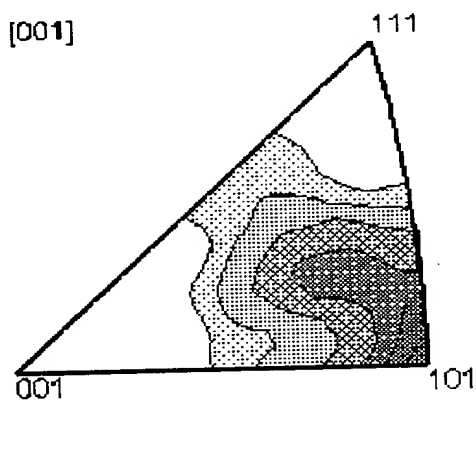
Percentage of Particles



1 ppm

{101} orientation ratio 53%

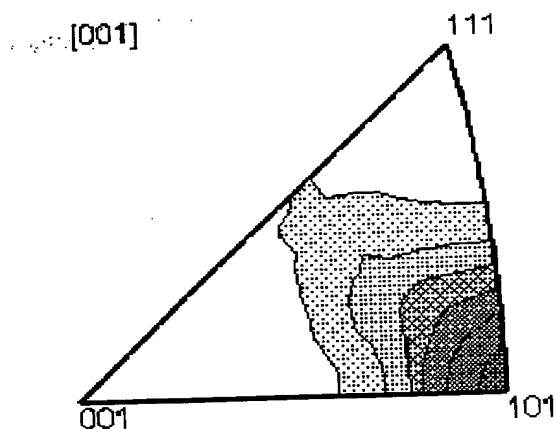
Fig. 1A



3 ppm

{101} orientation ratio 44%

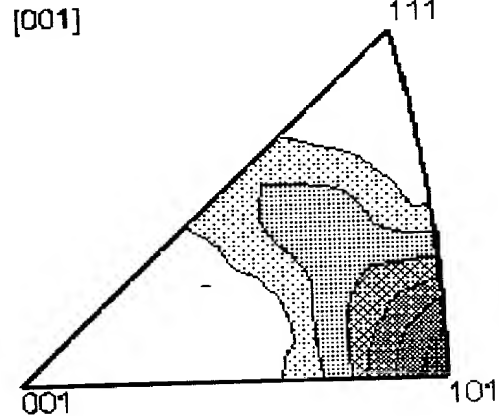
Fig. 1B



10 ppm

{101} orientation ratio 30%

Fig. 1C



30 ppm

{101} orientation ratio 19%

Fig. 1D

Q9

Fig. 2

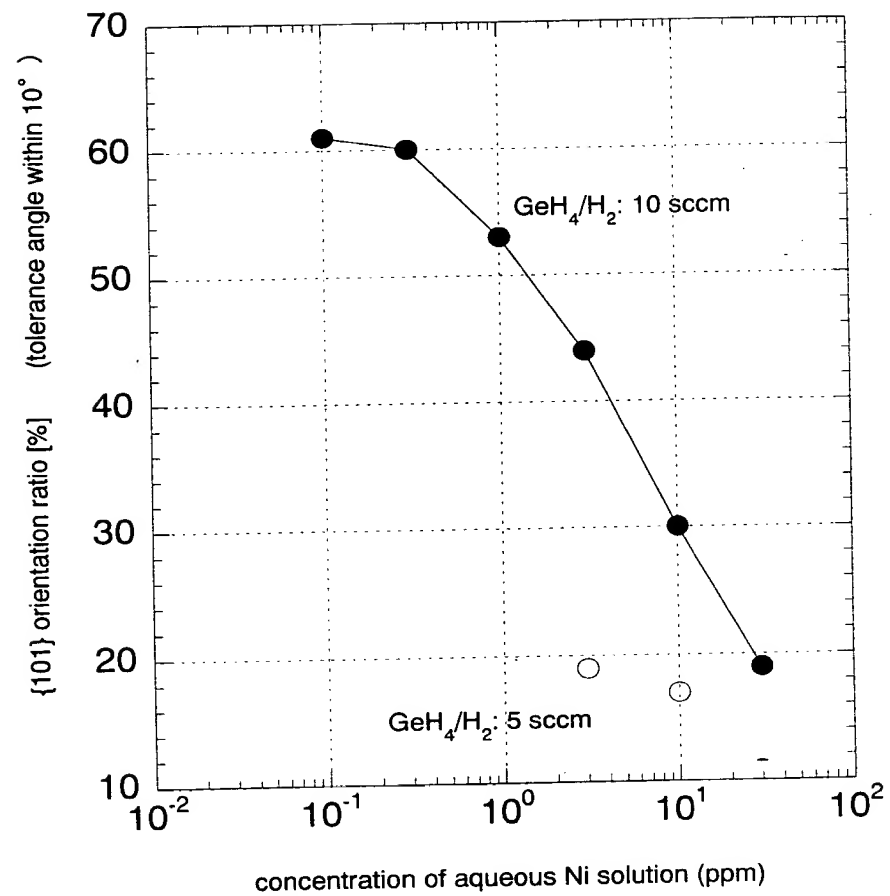
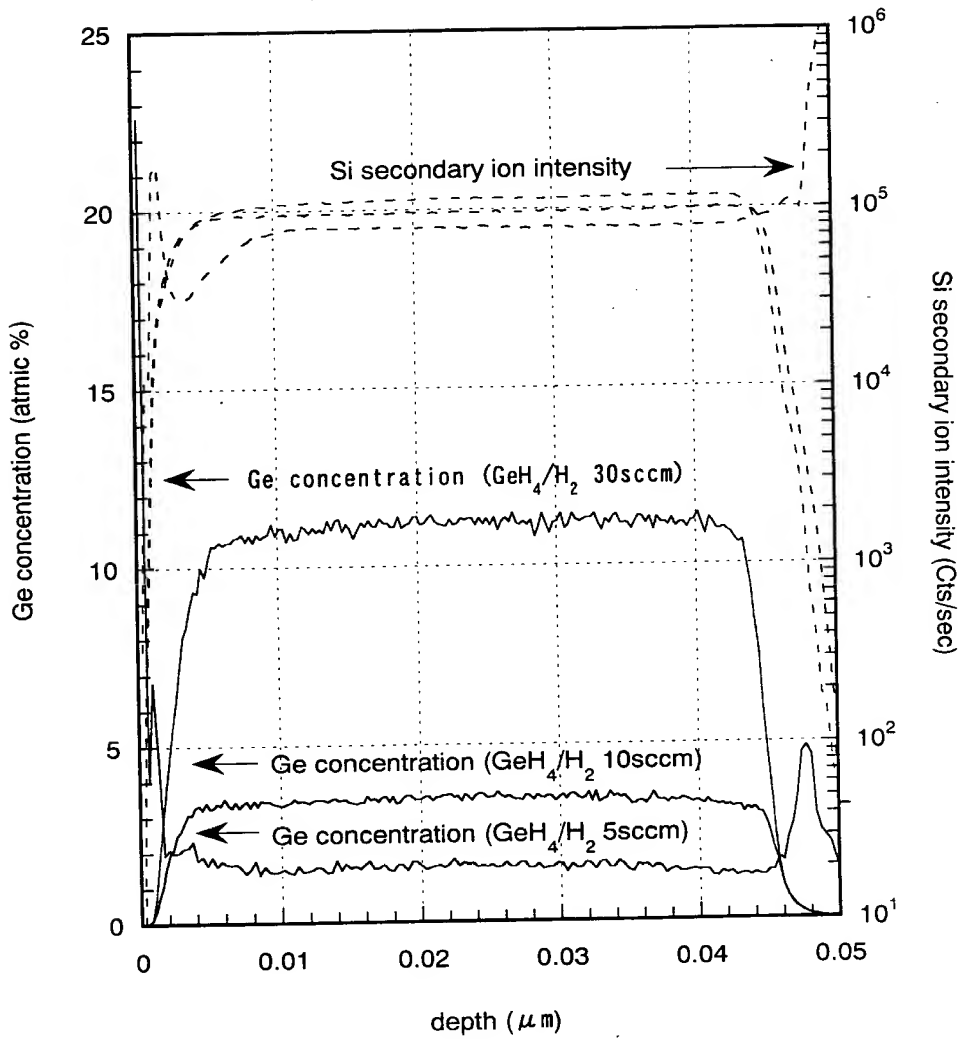


Fig. 3

0000000000000000

Fig. 4

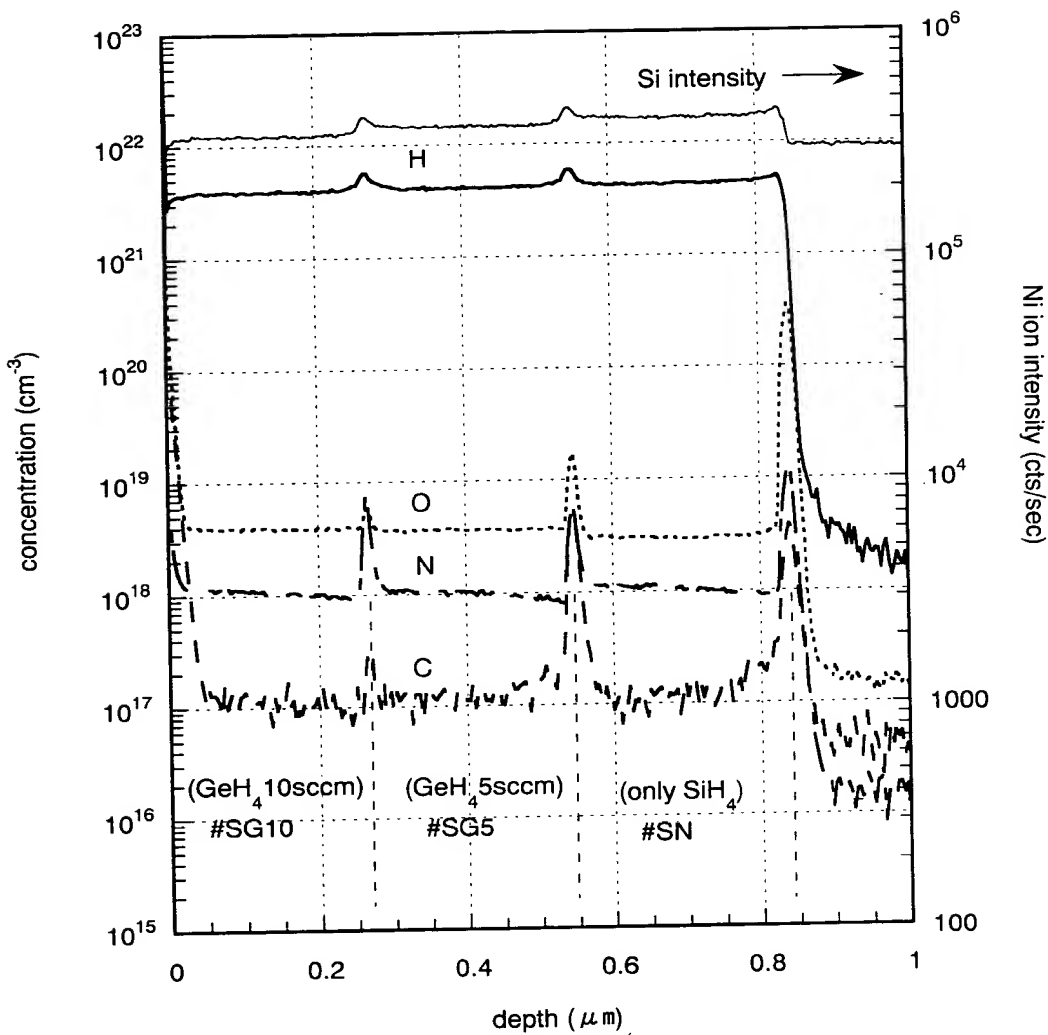
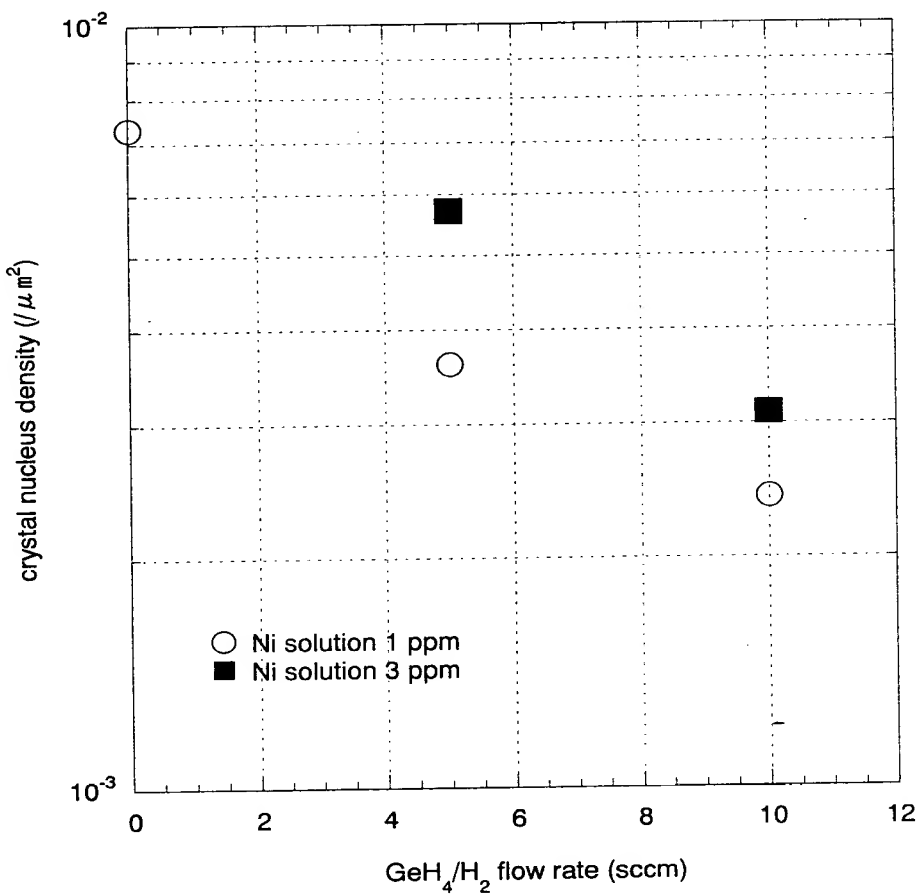


Fig. 5



1044730 "68000000

Fig. 6

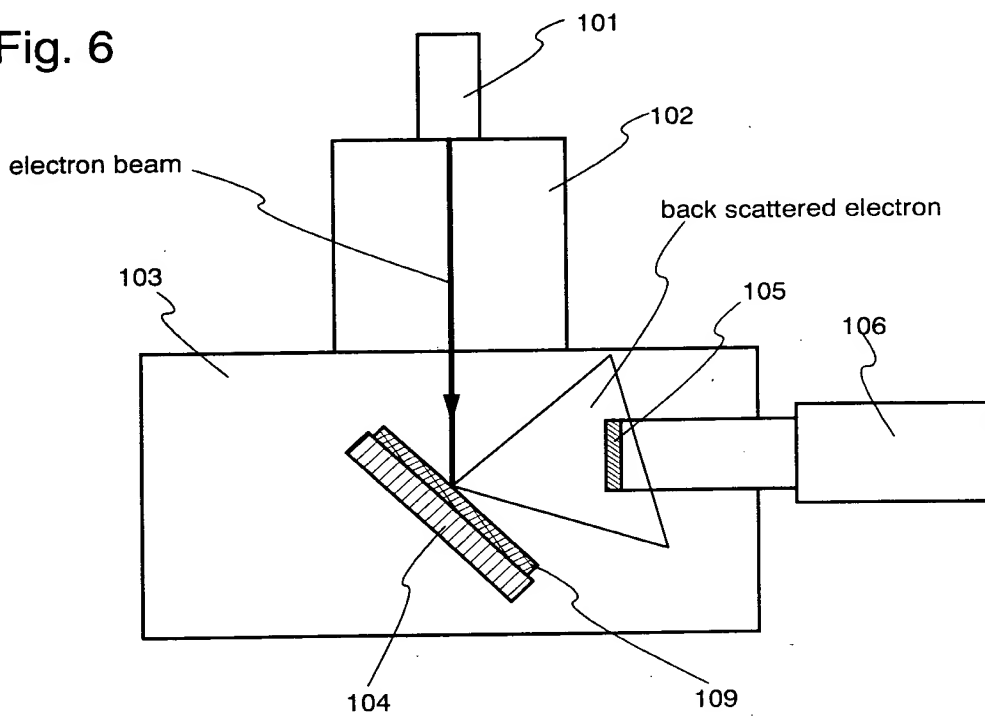


Fig. 7

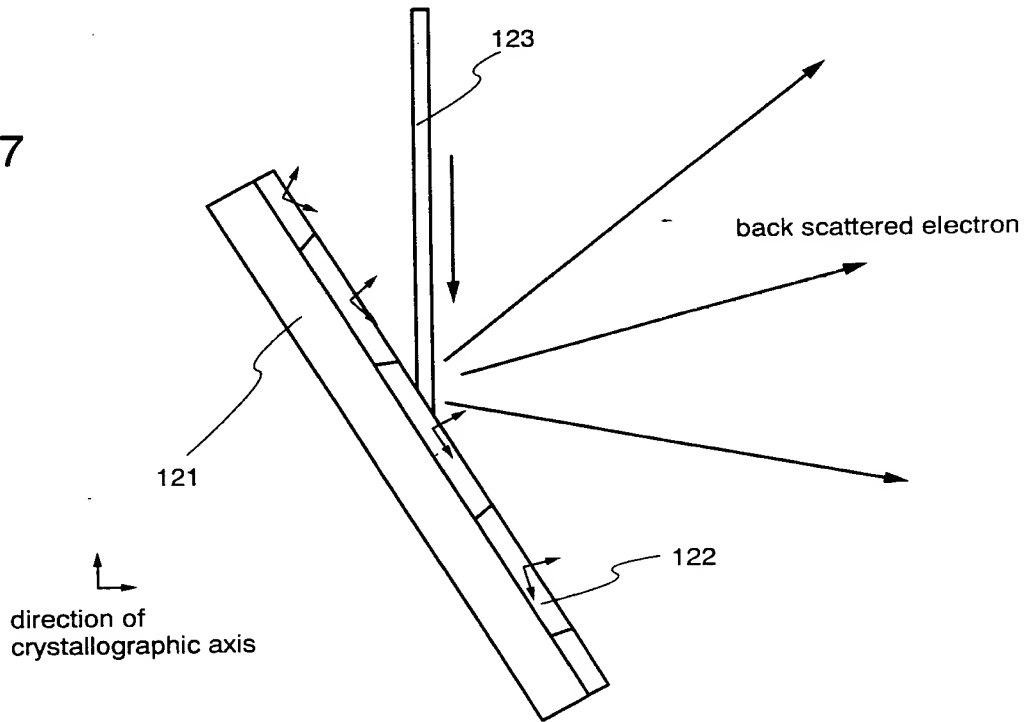


Fig. 8A

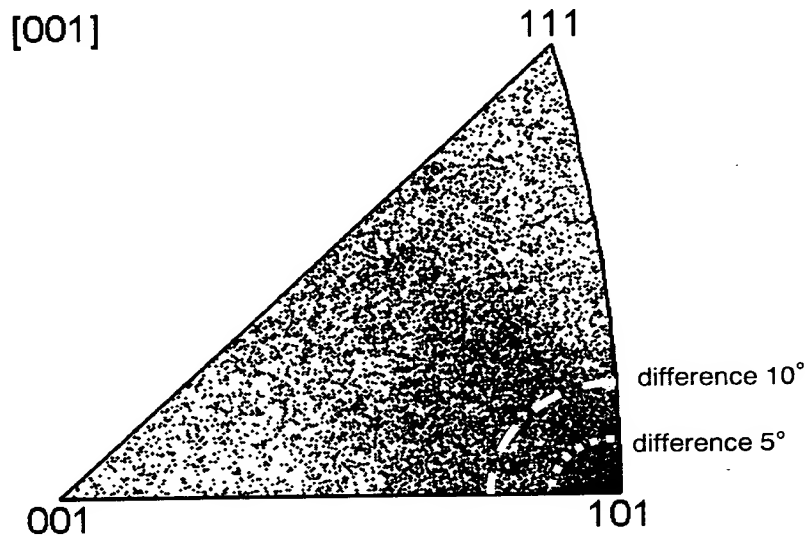
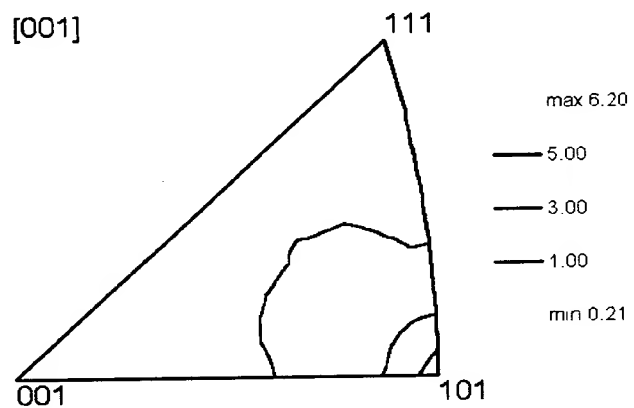


Fig. 8B



TOP SECRET//COMINT

Fig. 9

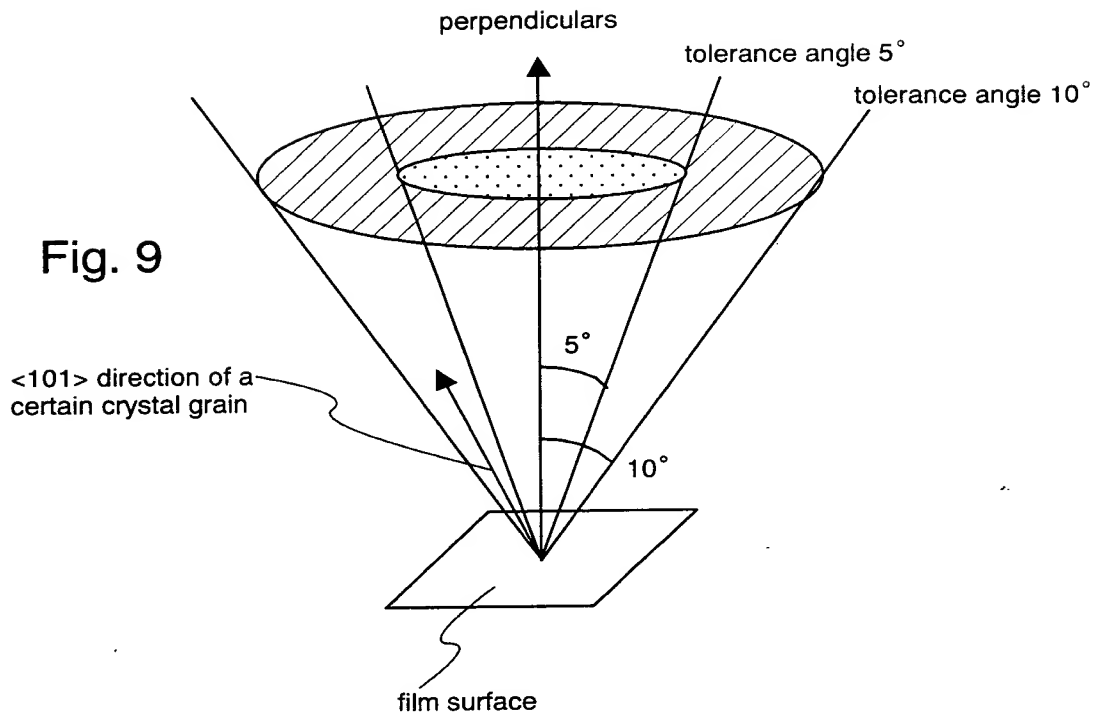


Fig. 10

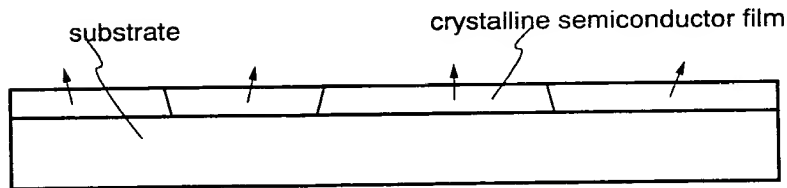


Fig. 11A

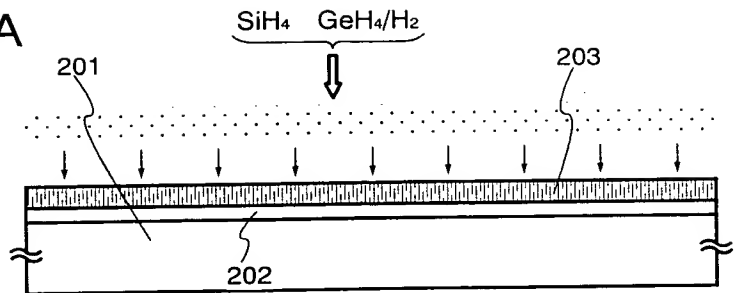


Fig. 11B

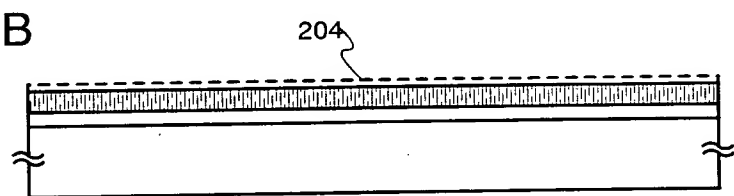


Fig. 11C

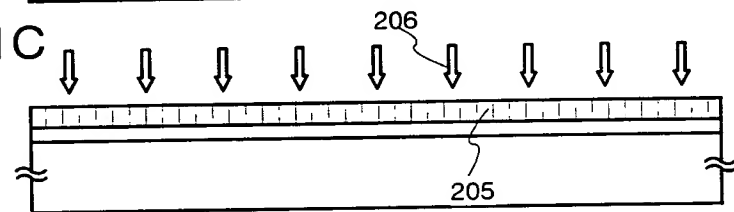


Fig. 11D

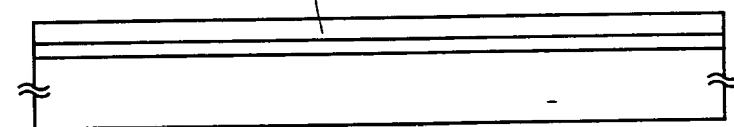


Fig. 12A-a

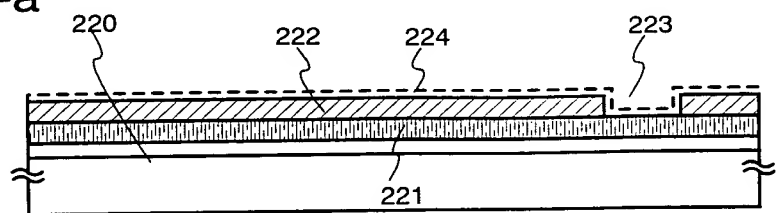


Fig. 12A-b

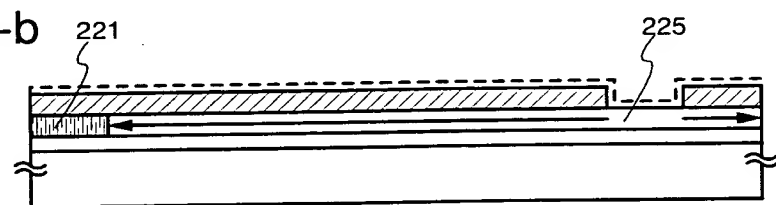


Fig. 12A-c

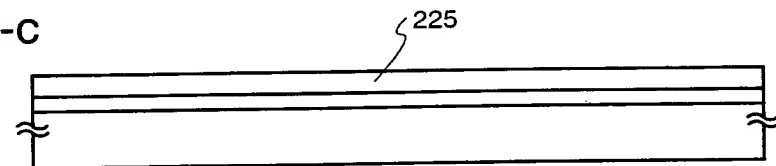


Fig. 12B-a

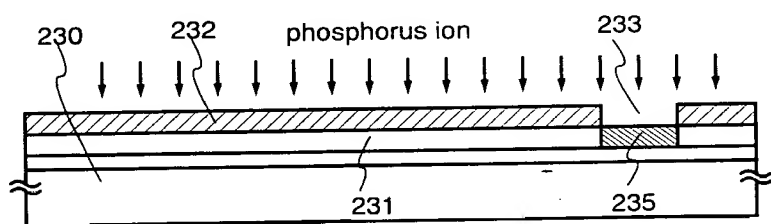


Fig. 12B-b

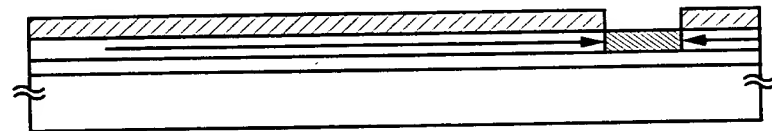


Fig. 12B-c

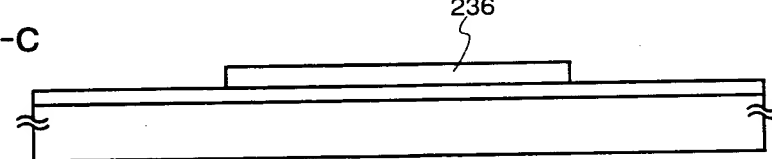


Fig. 13A

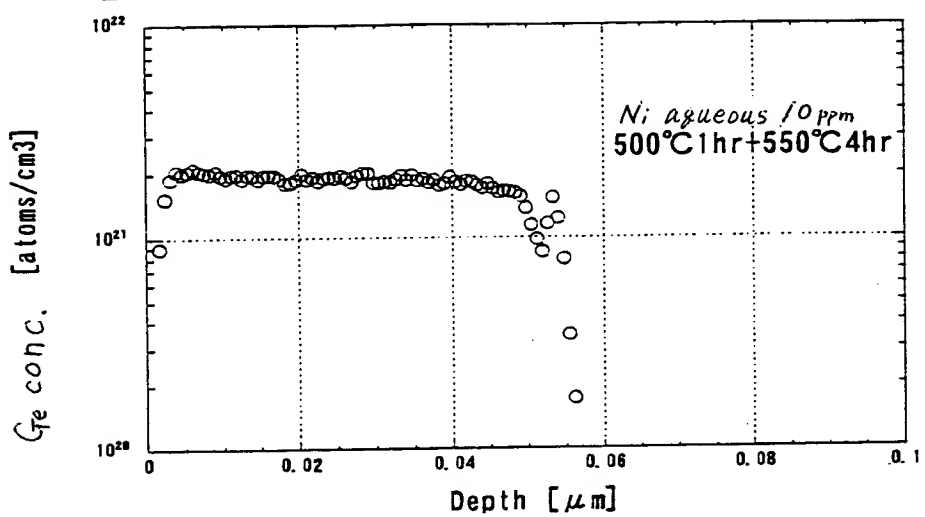


Fig. 13B

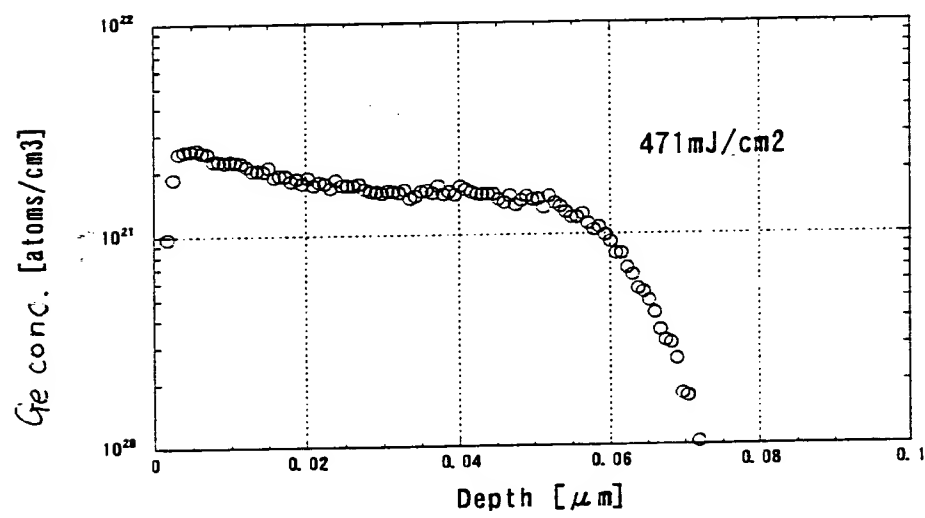
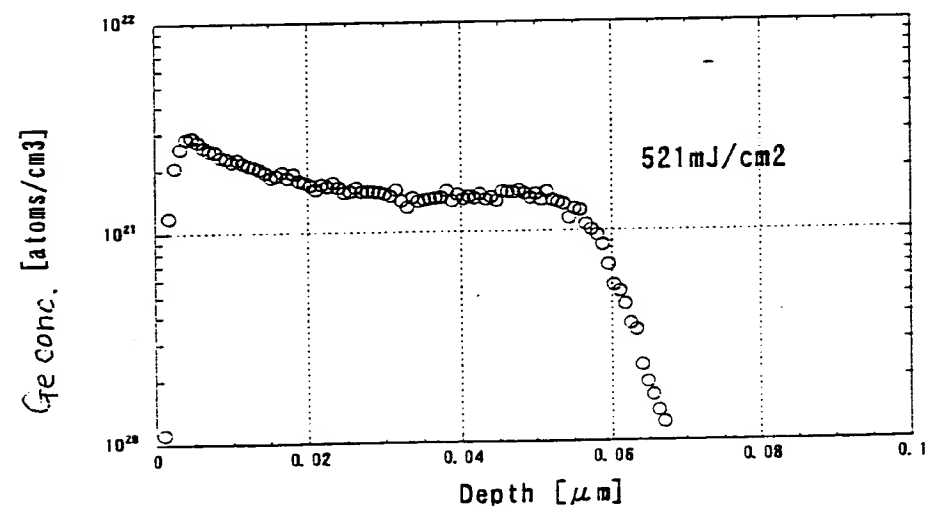


Fig. 13C



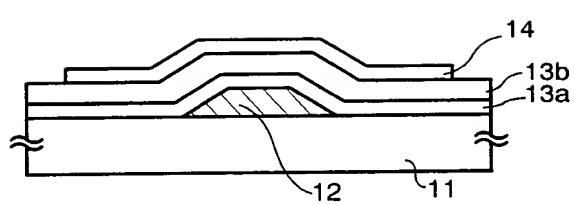


Fig. 14A

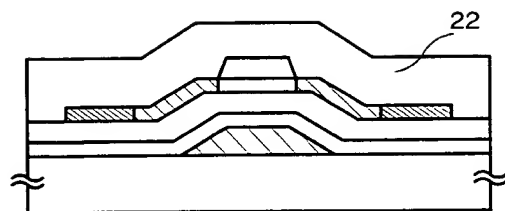


Fig. 14E

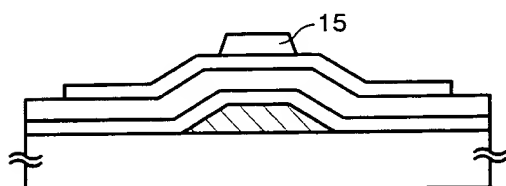
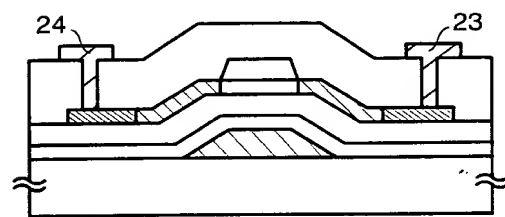


Fig. 14B



n-channel TFT

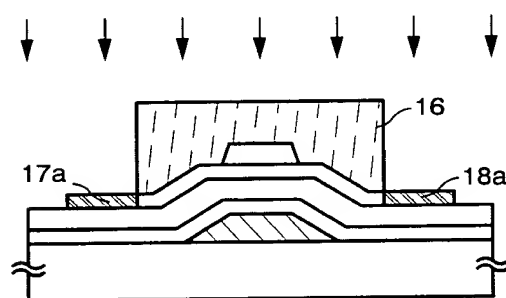


Fig. 14C

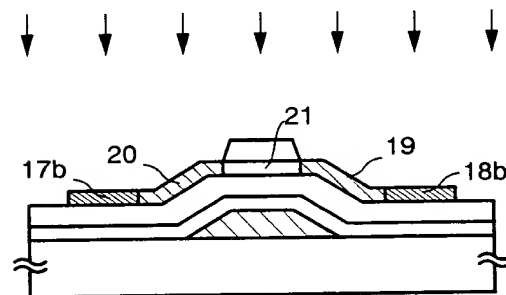


Fig. 14D

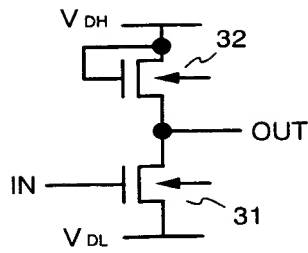


Fig. 15A

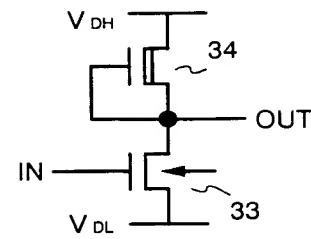


Fig. 15B

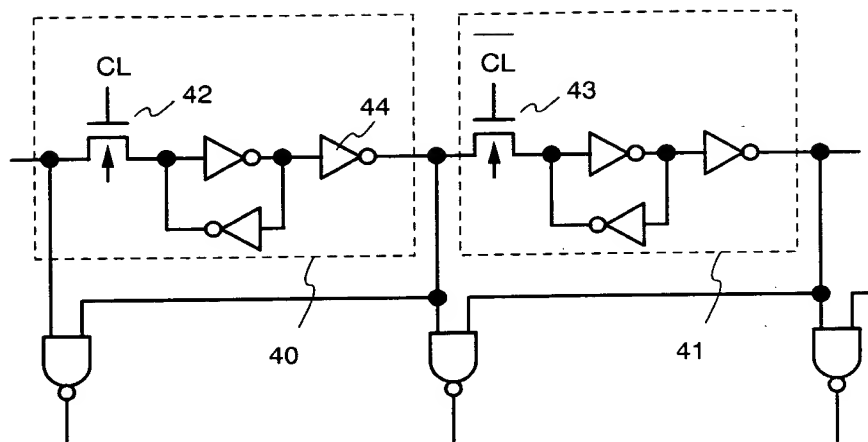


Fig. 16A

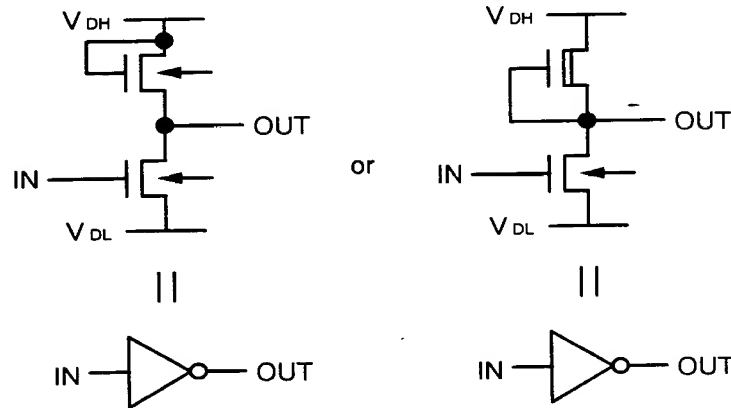


Fig. 16B

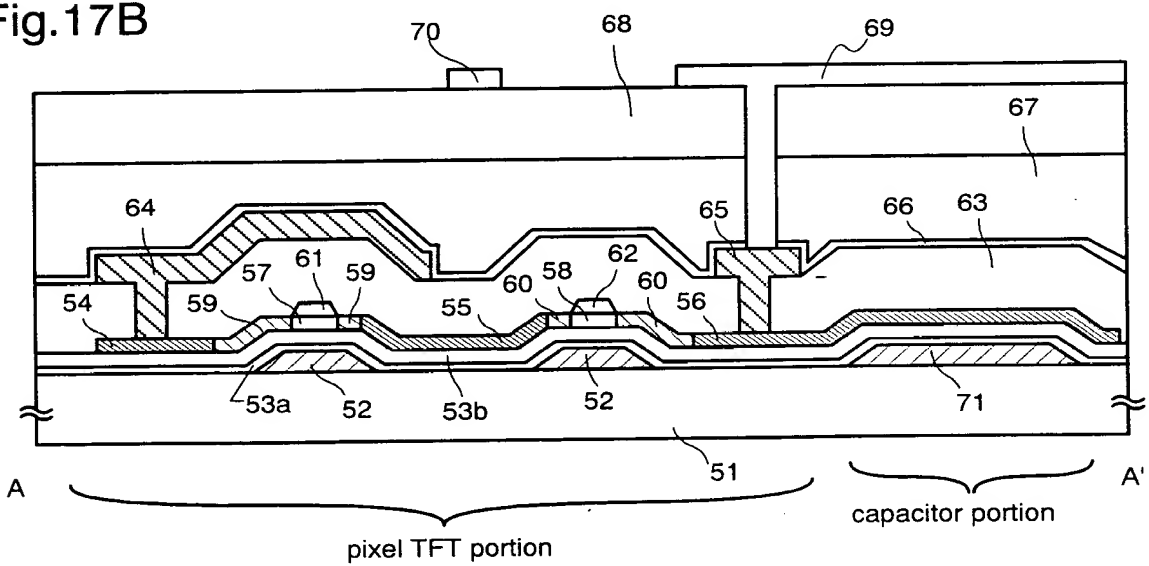
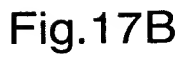
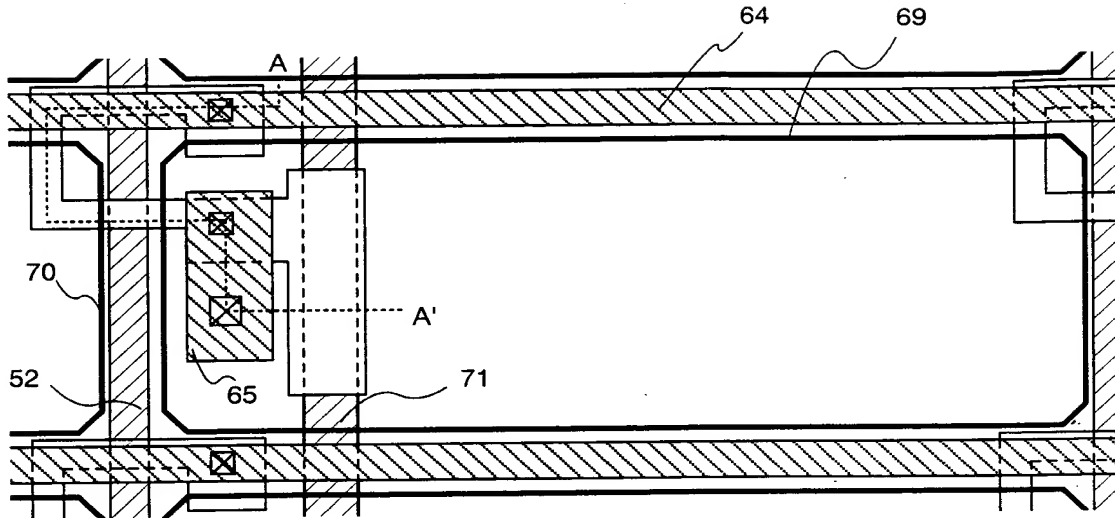
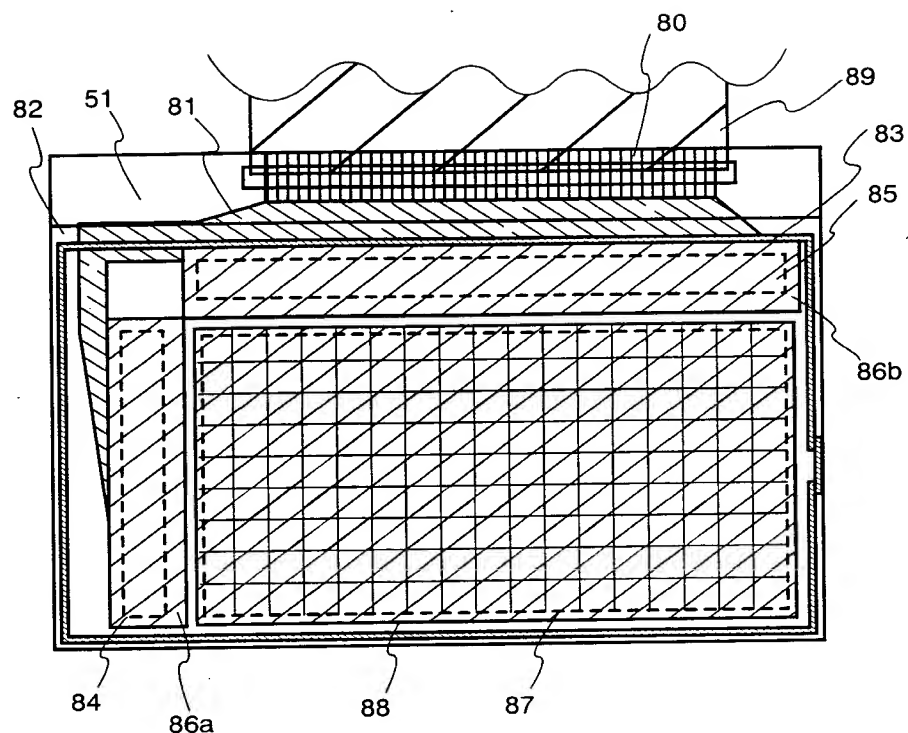


Fig. 18



20141120-14200000000

Fig. 19

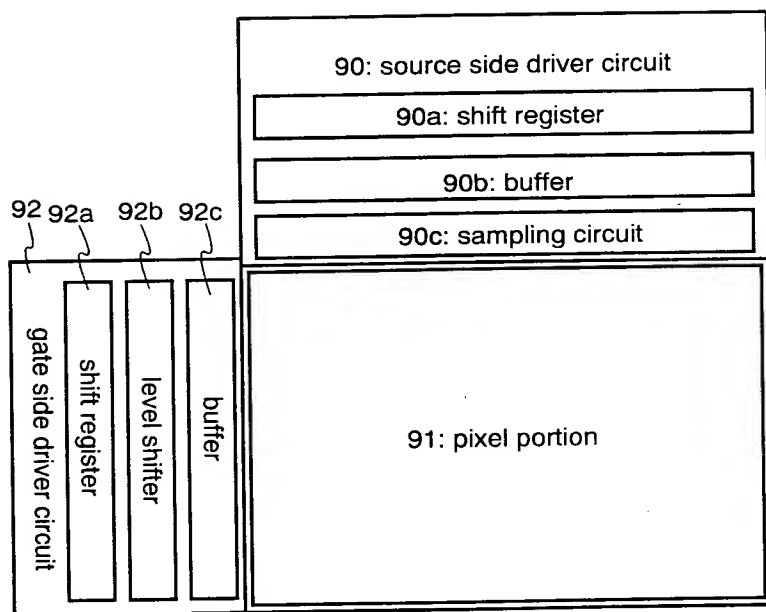
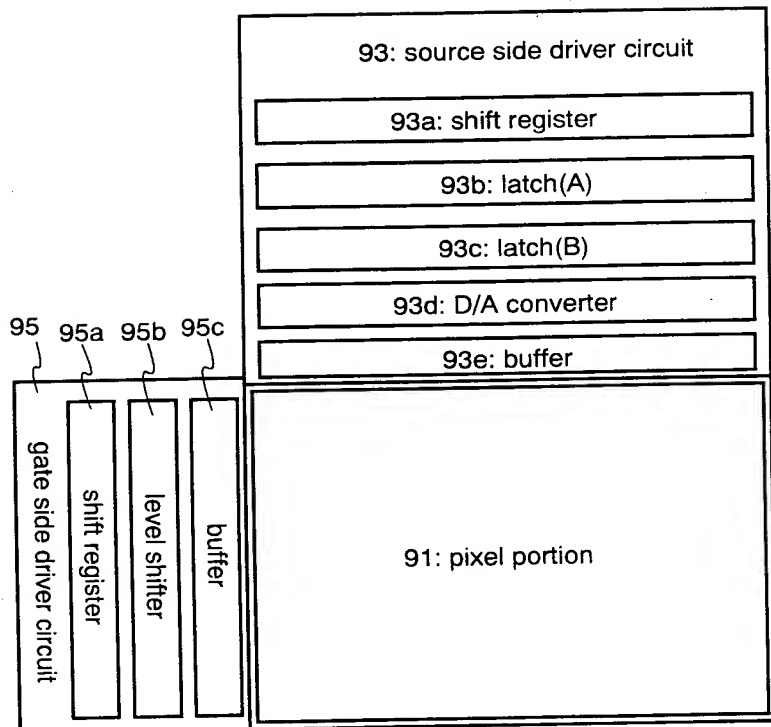


Fig. 20



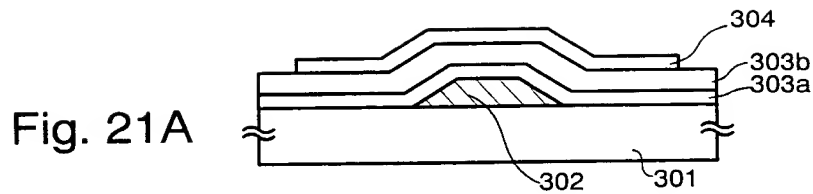


Fig. 21A

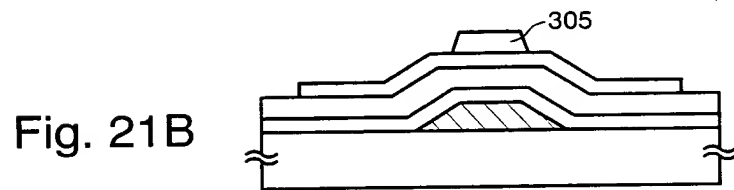


Fig. 21B

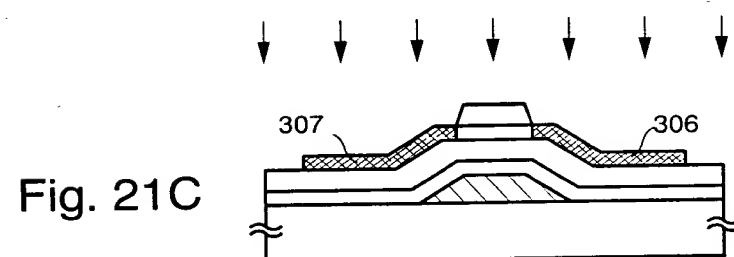


Fig. 21C

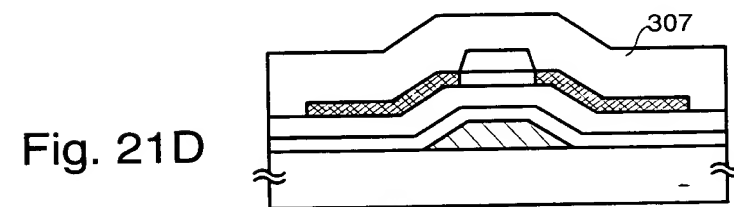


Fig. 21D

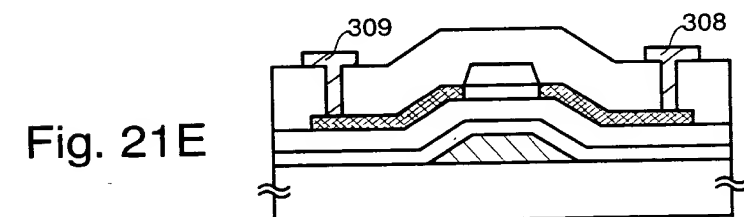


Fig. 21E

p-channel TFT

Fig. 22A

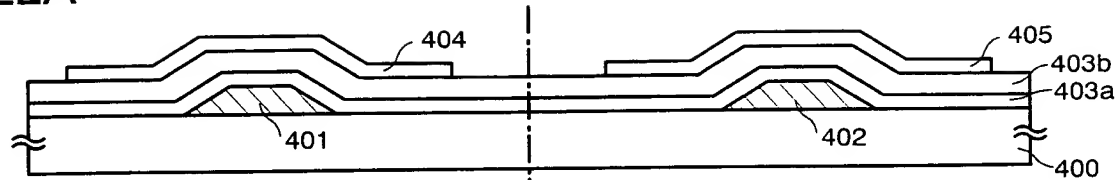


Fig. 22B

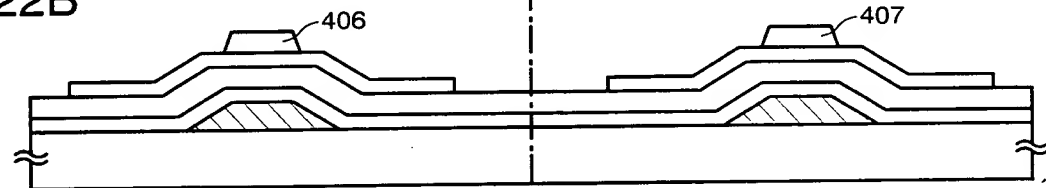


Fig. 22C

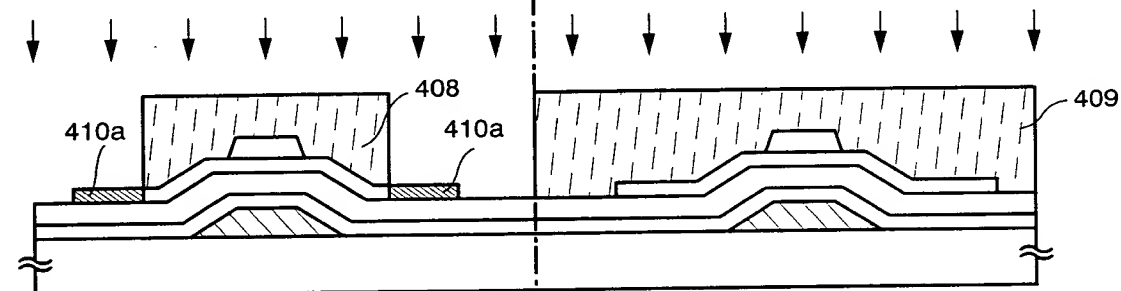


Fig. 22D

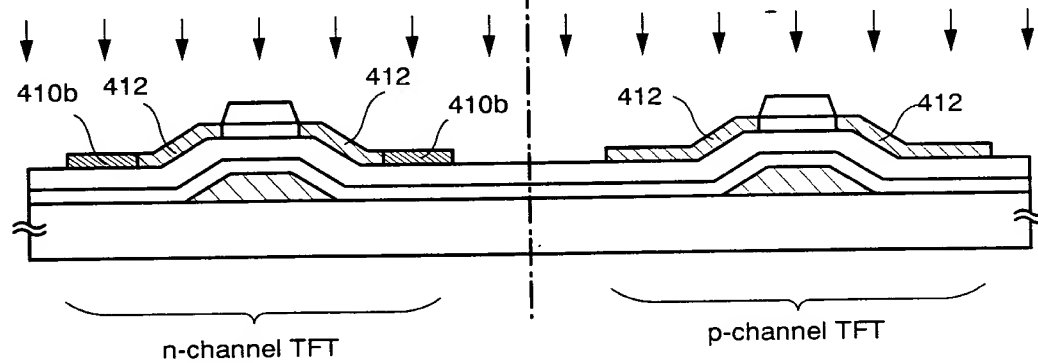


Fig. 23A

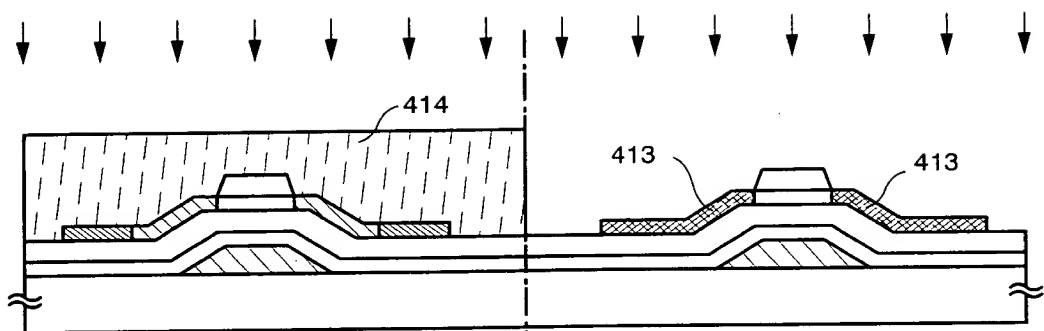


Fig. 23B

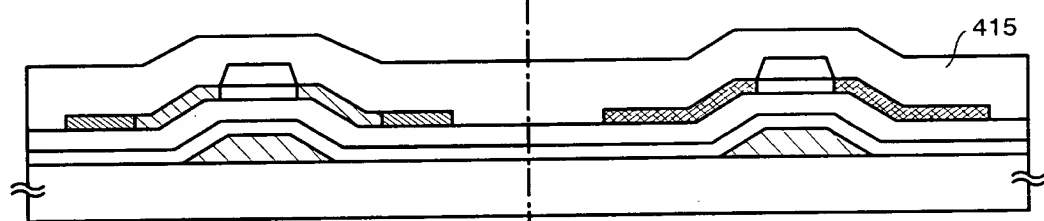
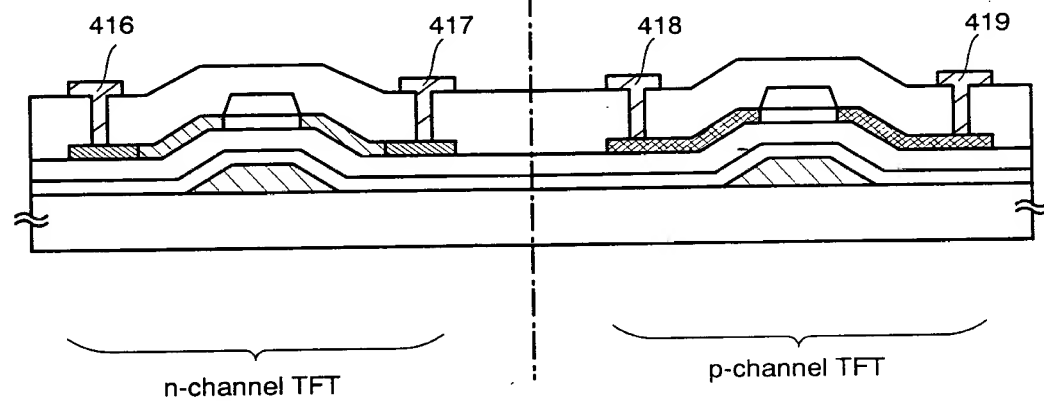


Fig. 23C



20140120153003866

Fig. 24A

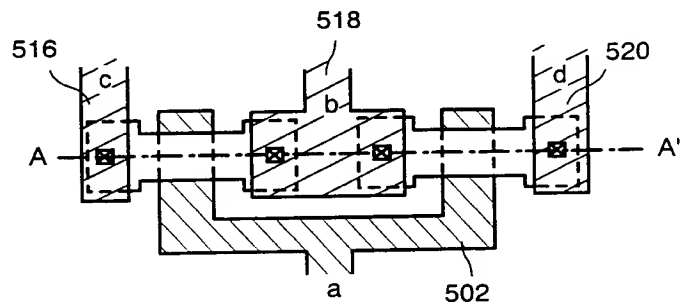


Fig. 24B

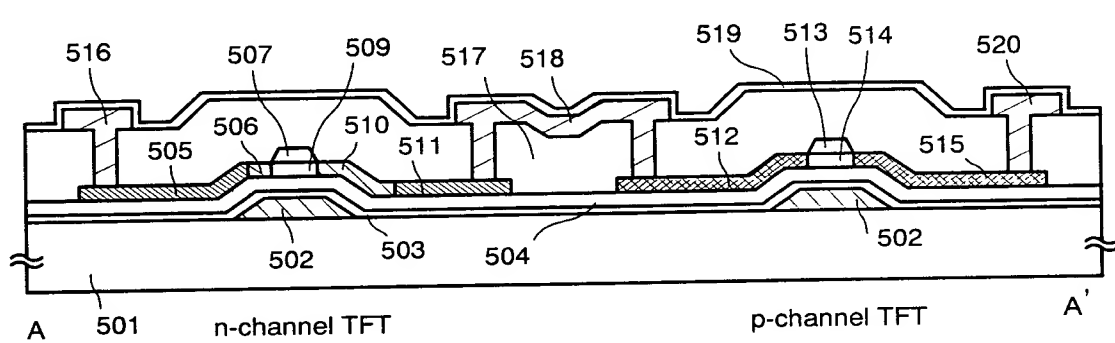


Fig. 24C

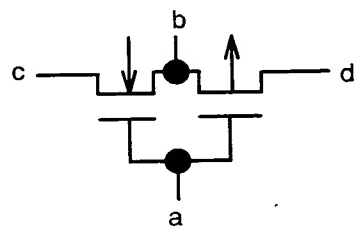
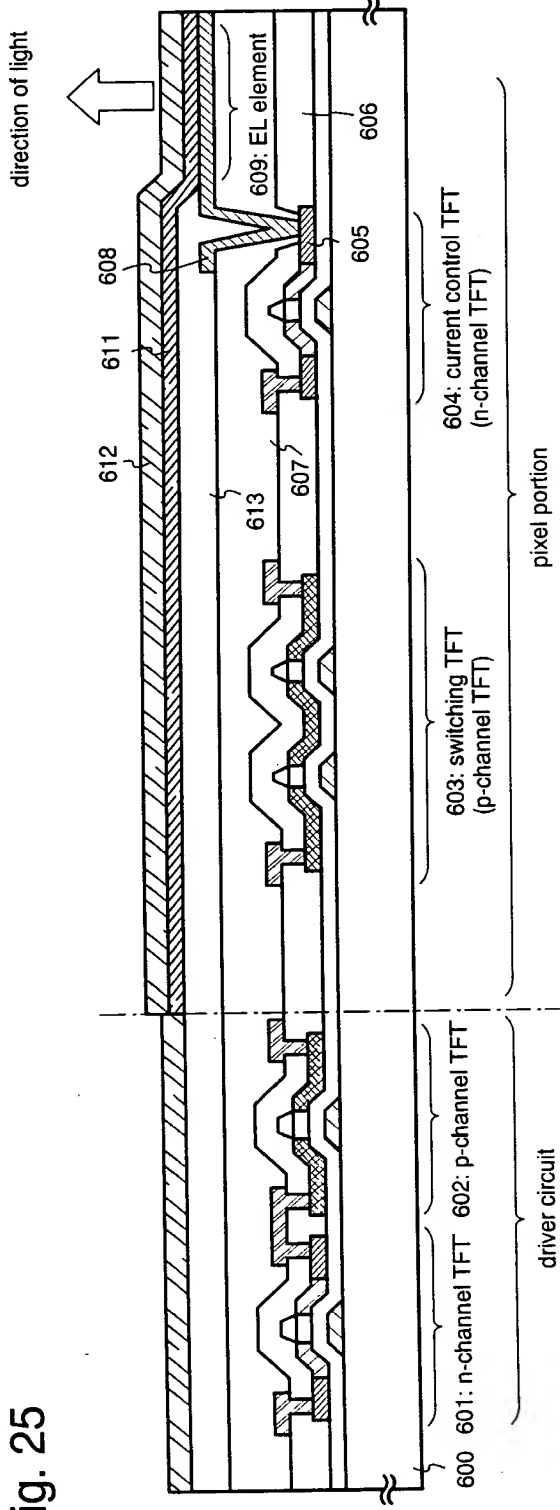


Fig. 25



20170806-68009360

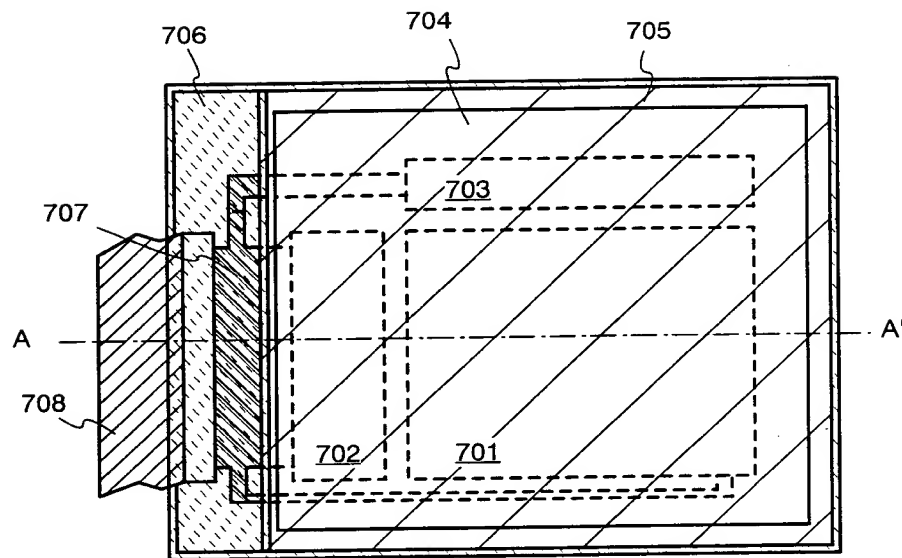


Fig. 26A

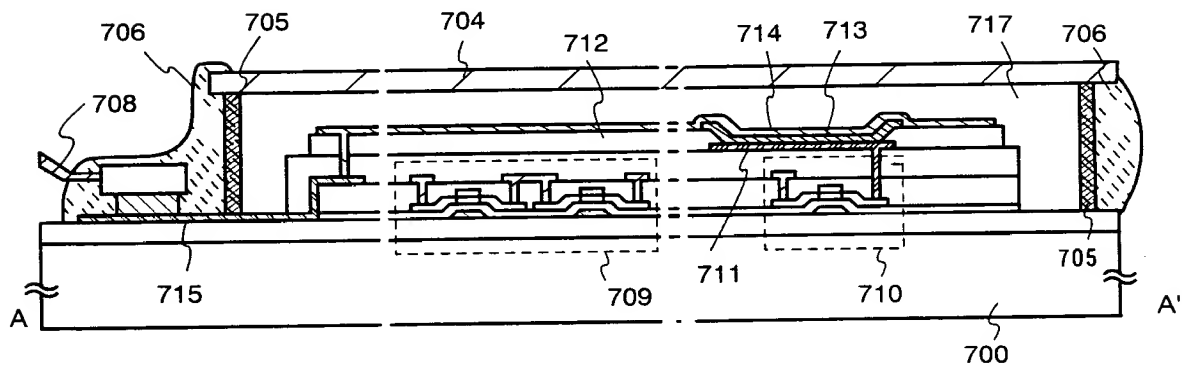


Fig. 26B

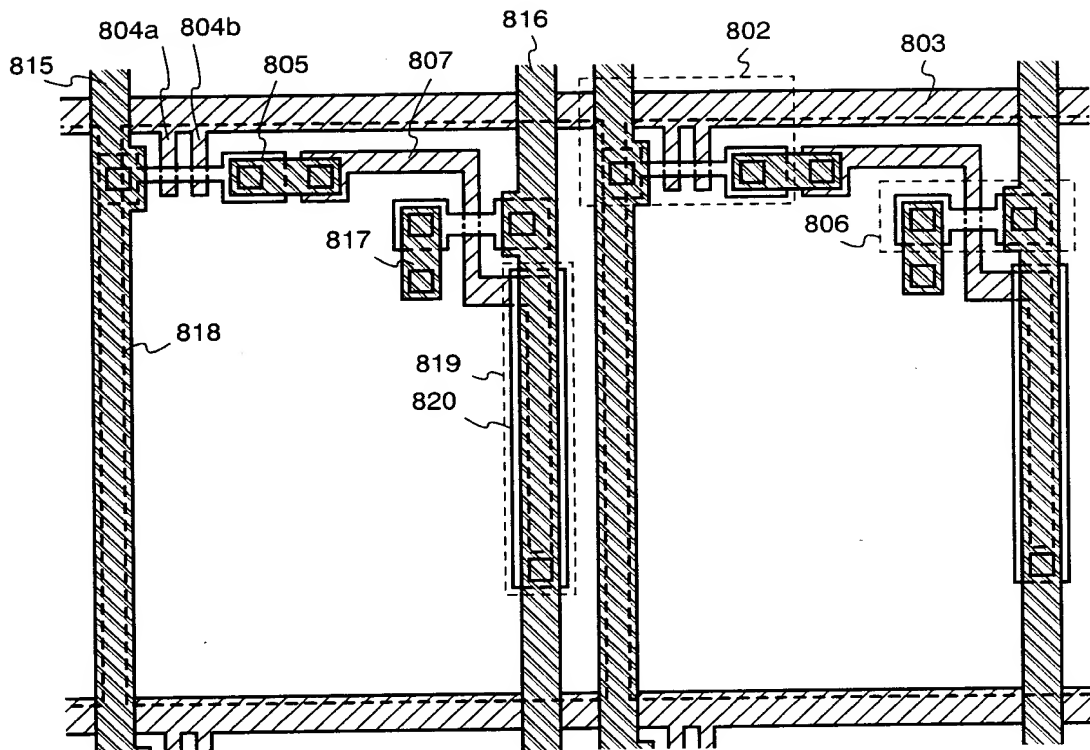


Fig. 27A

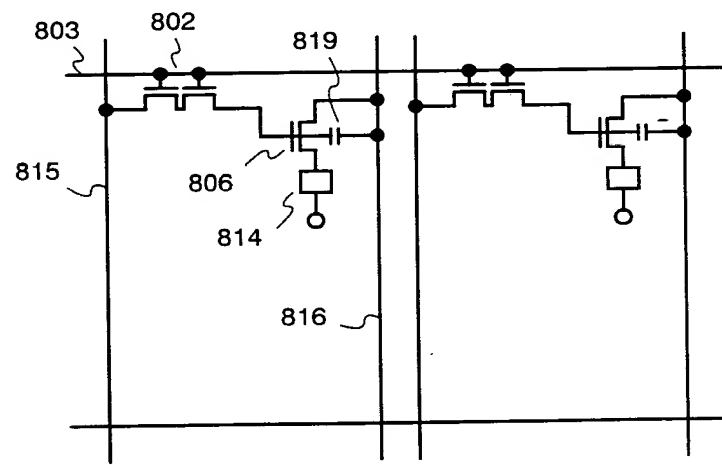


Fig. 27B

Fig. 28

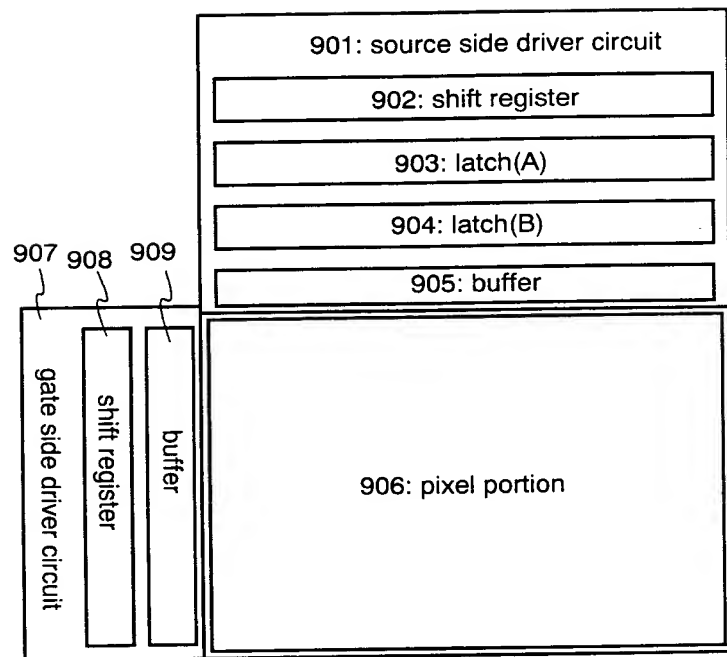


Fig. 29

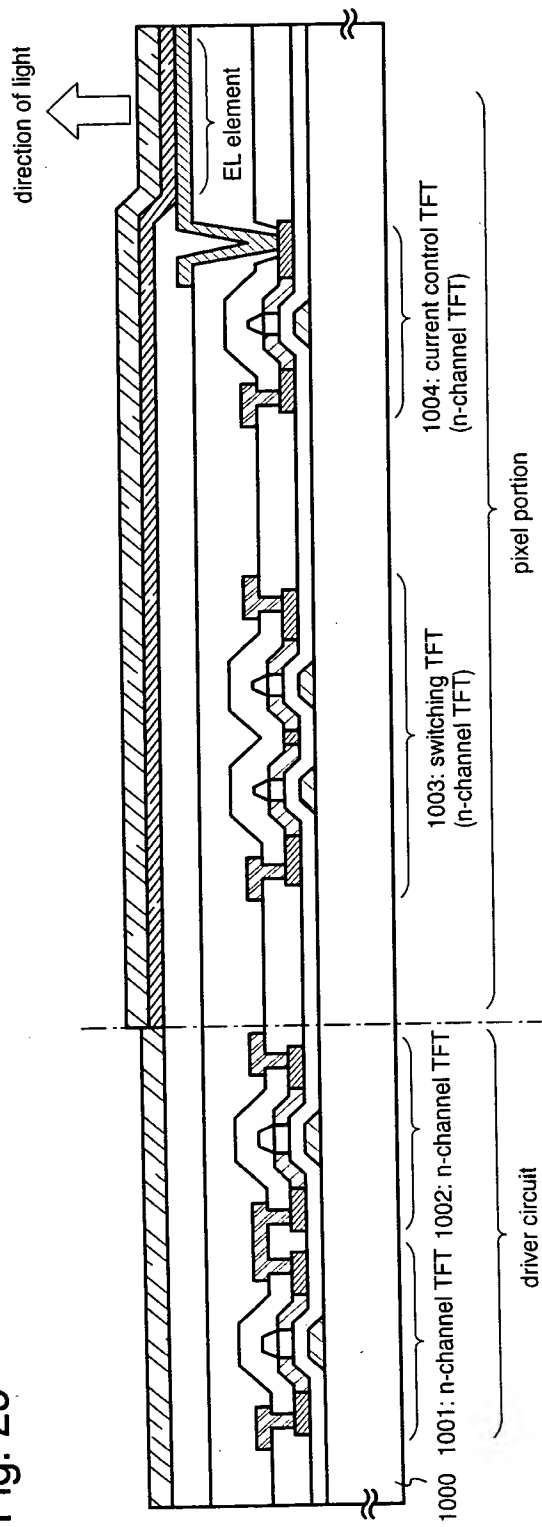


Fig. 30

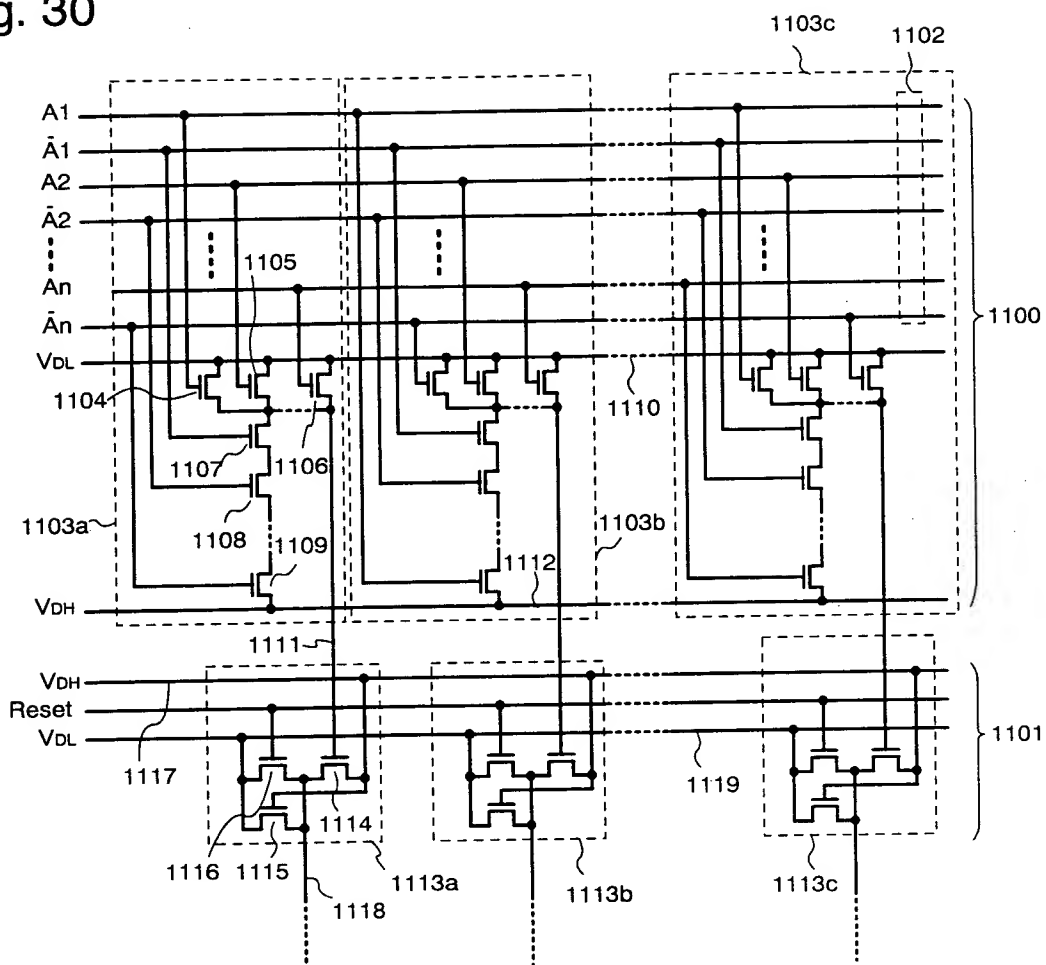


Fig. 31

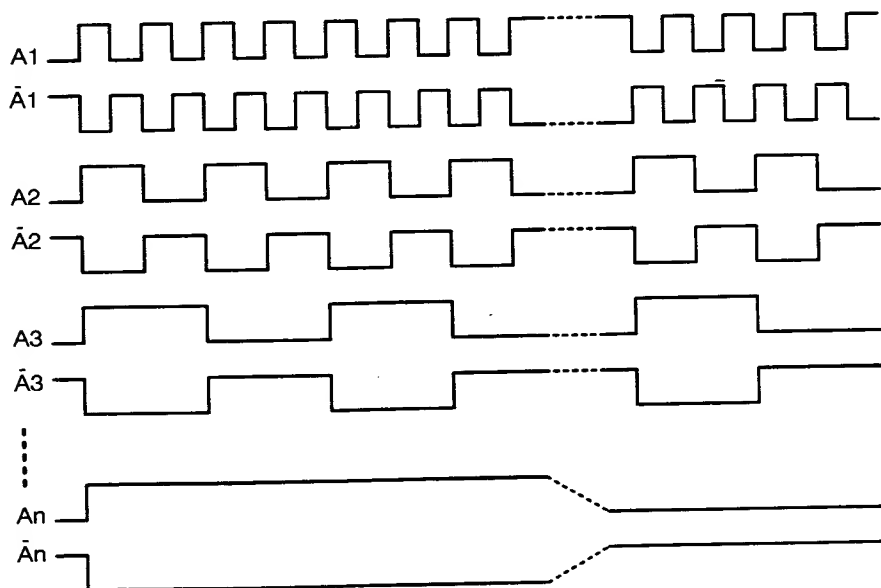


Fig. 32

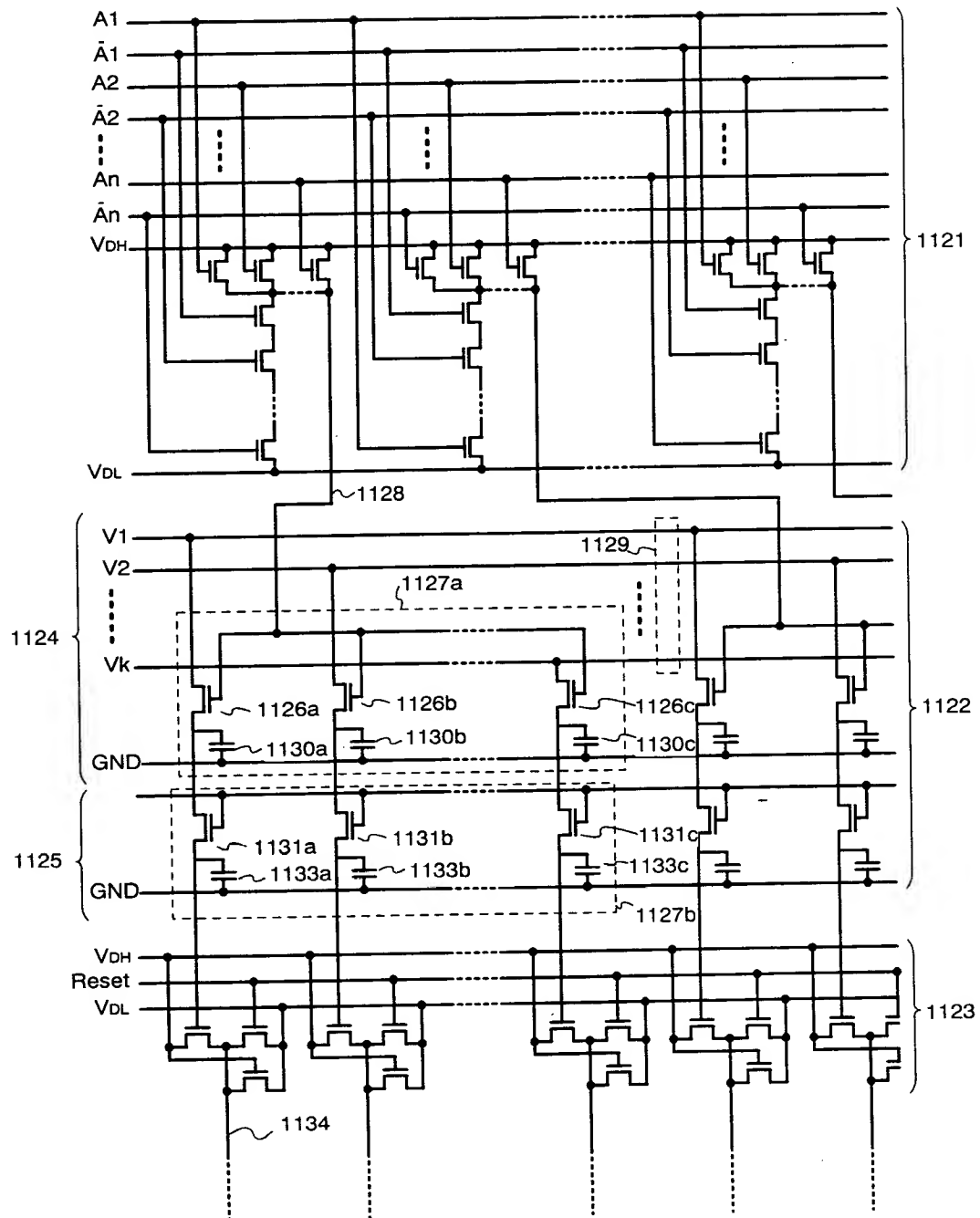


Fig. 33

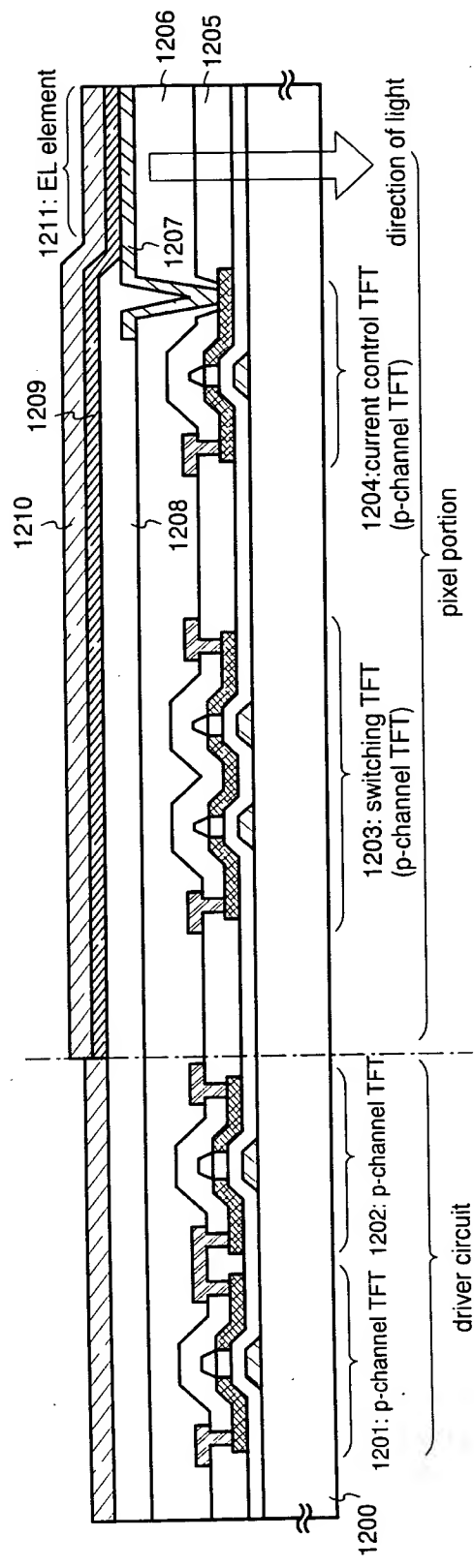


Fig. 34

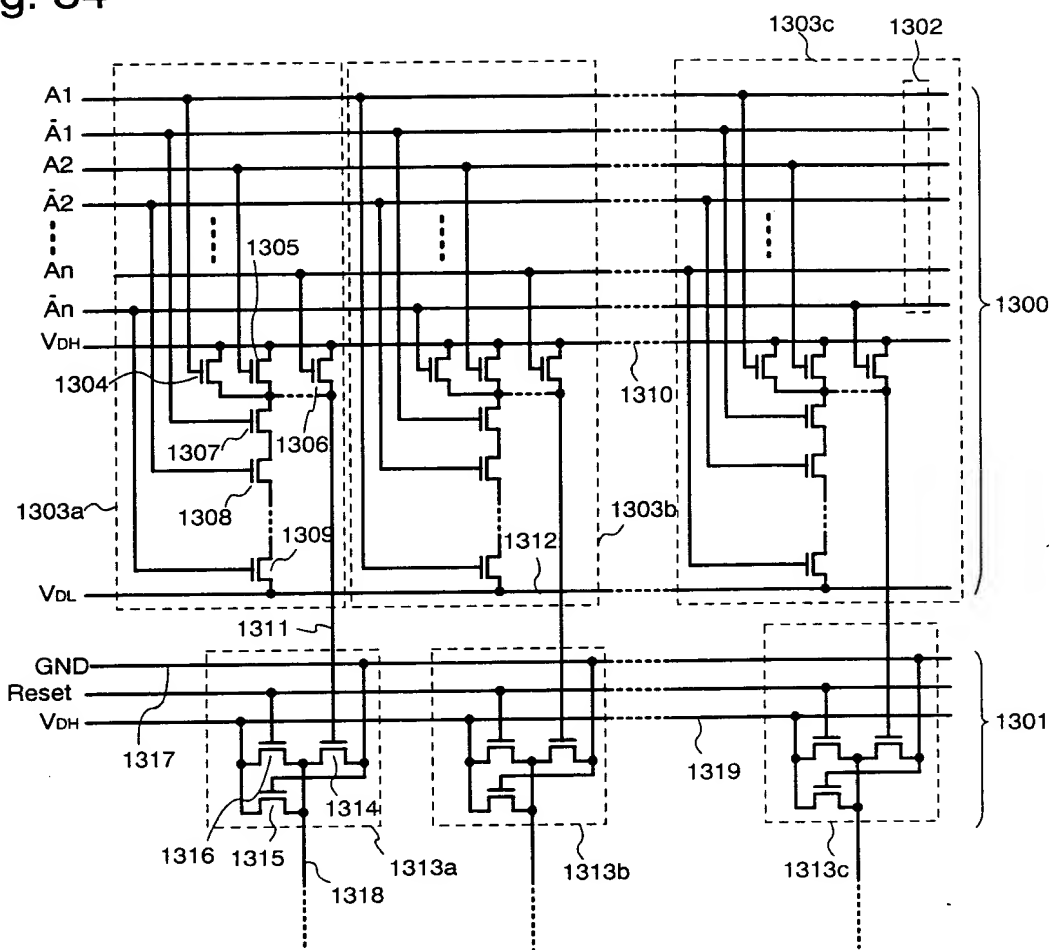


Fig. 35

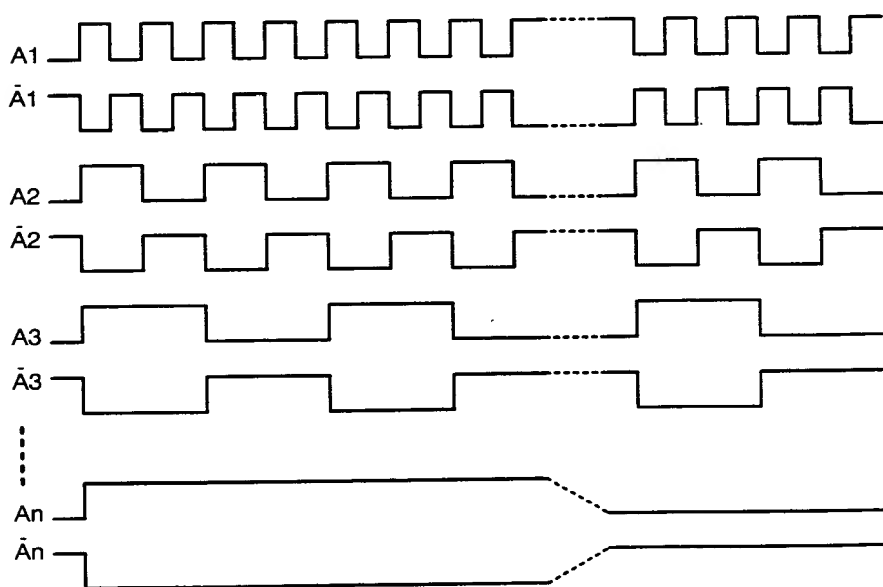


Fig. 36

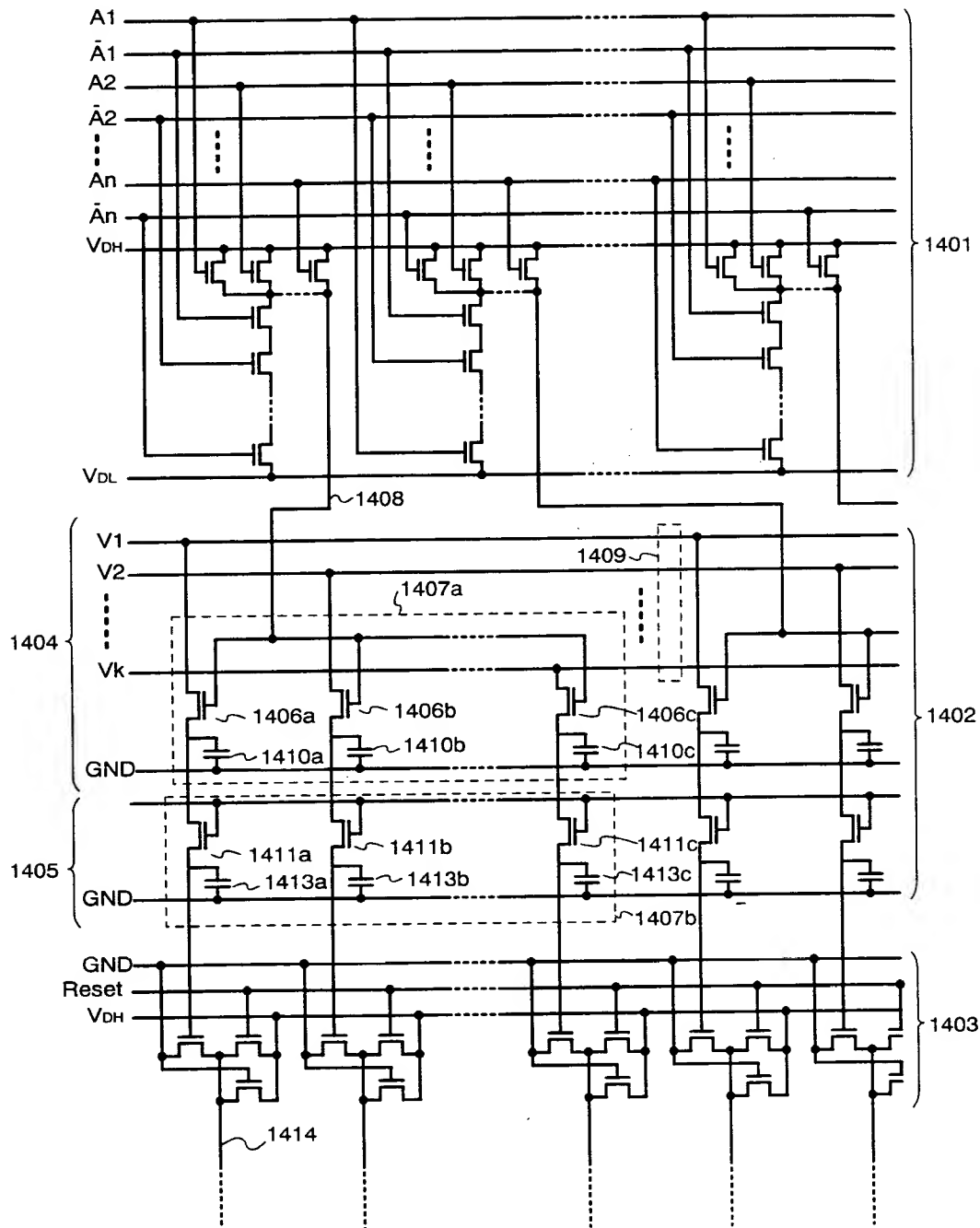


Fig. 37A

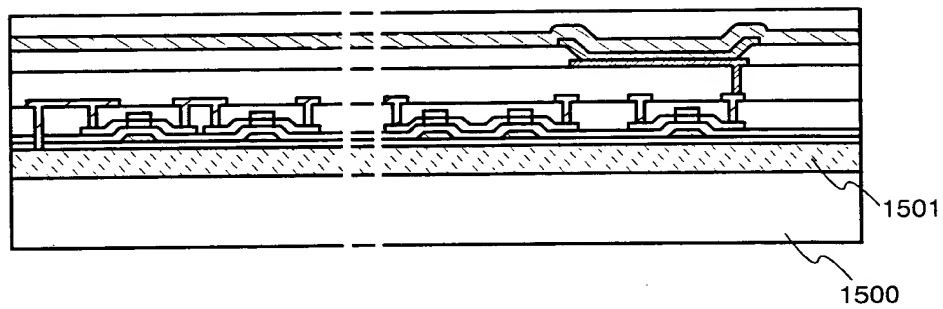


Fig. 37B

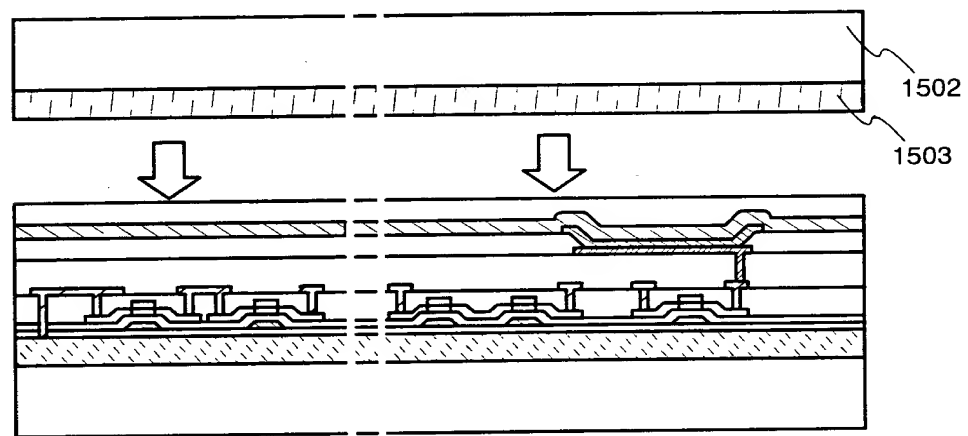


Fig. 37C

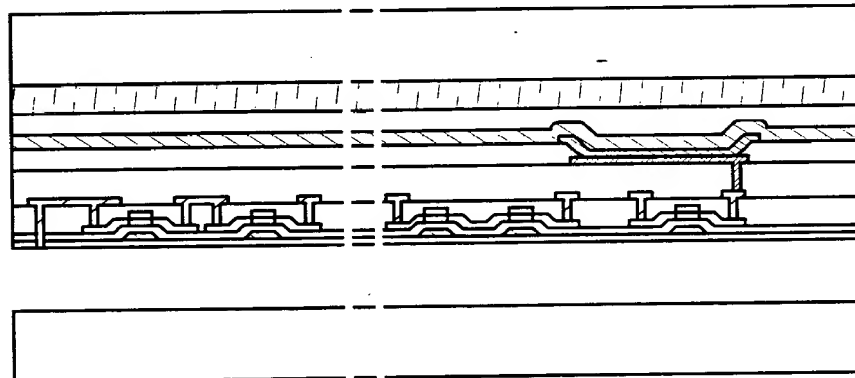


Fig. 38A

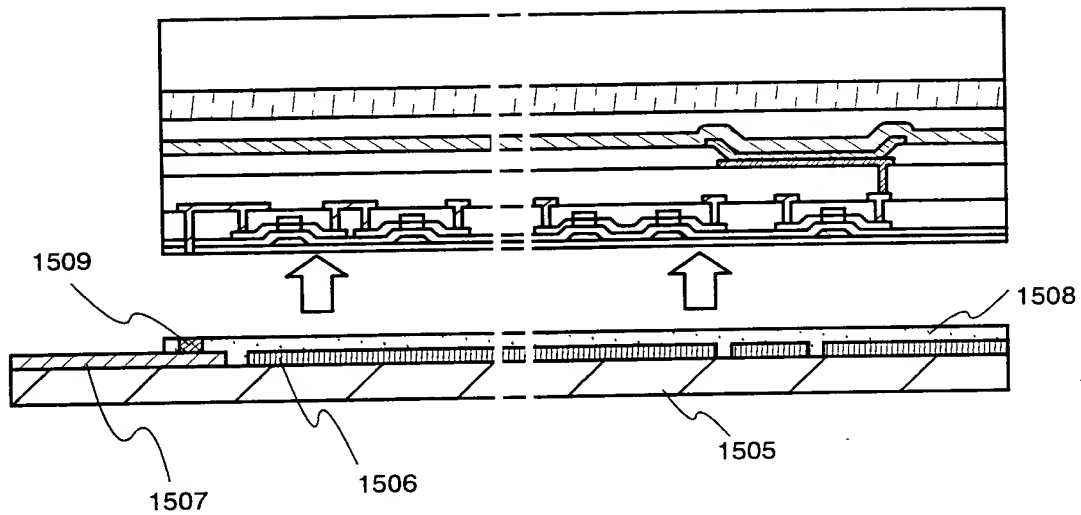
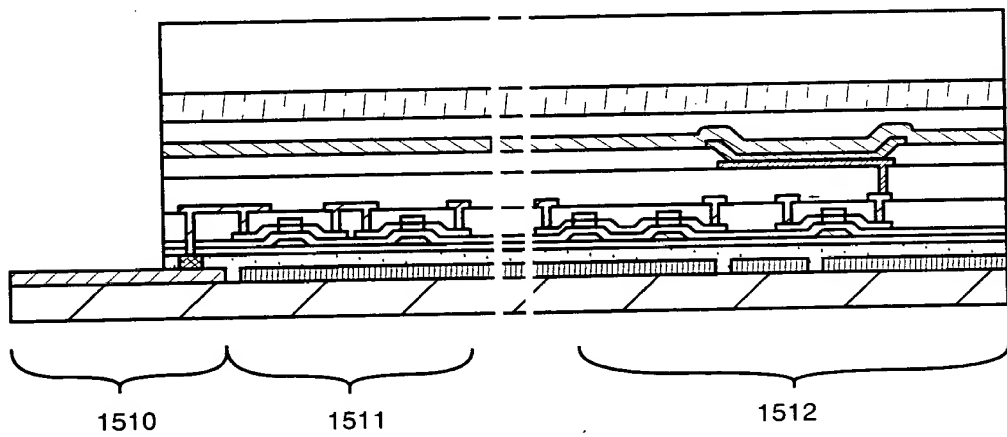


Fig. 38B



0 8 6 0 8 0 6 4 0 1

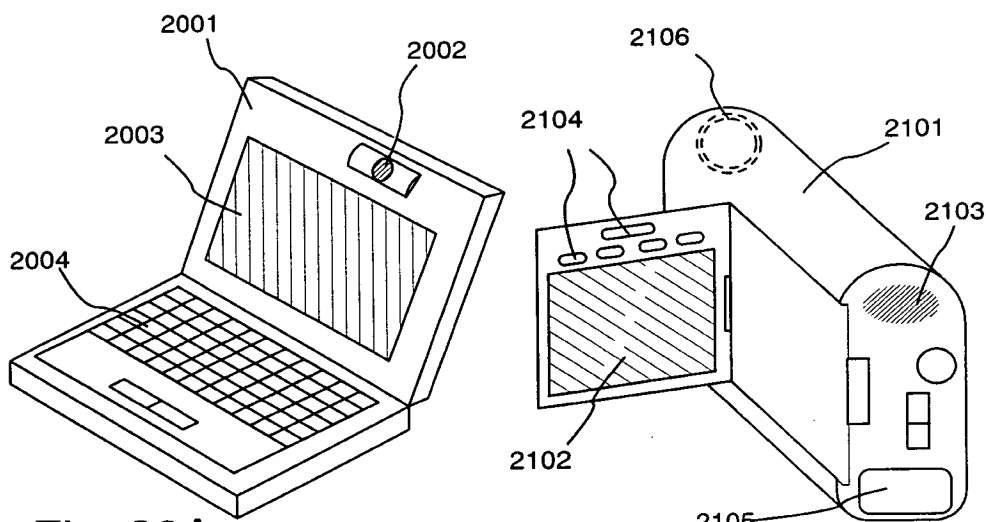


Fig. 39A

Fig. 39B

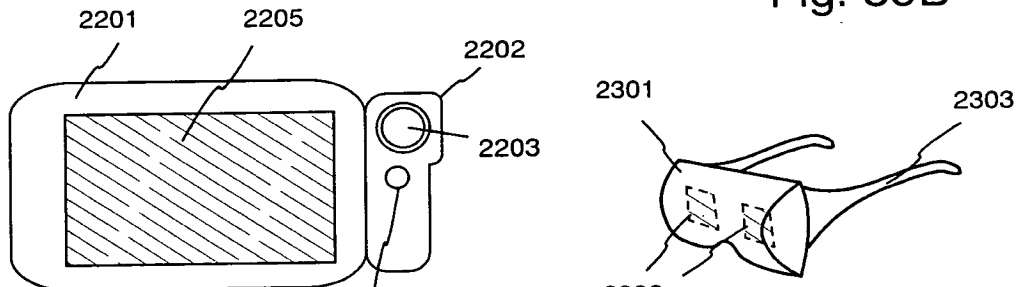


Fig. 39C

Fig. 39D

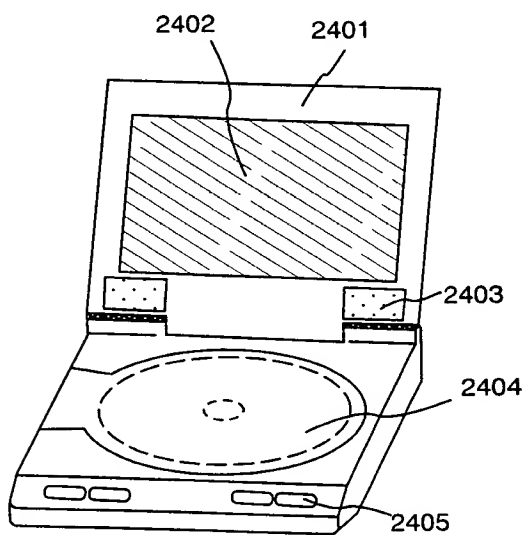


Fig. 39E

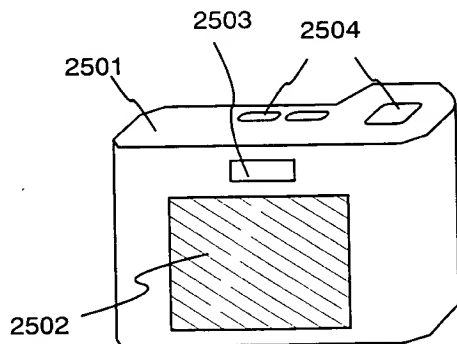


Fig. 39F

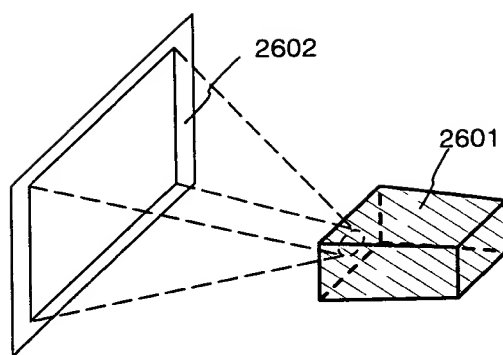


Fig. 40A

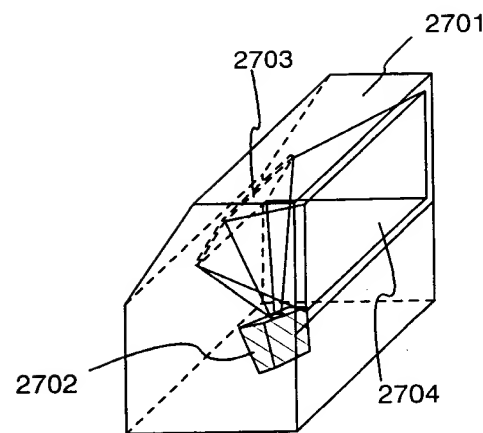


Fig. 40B

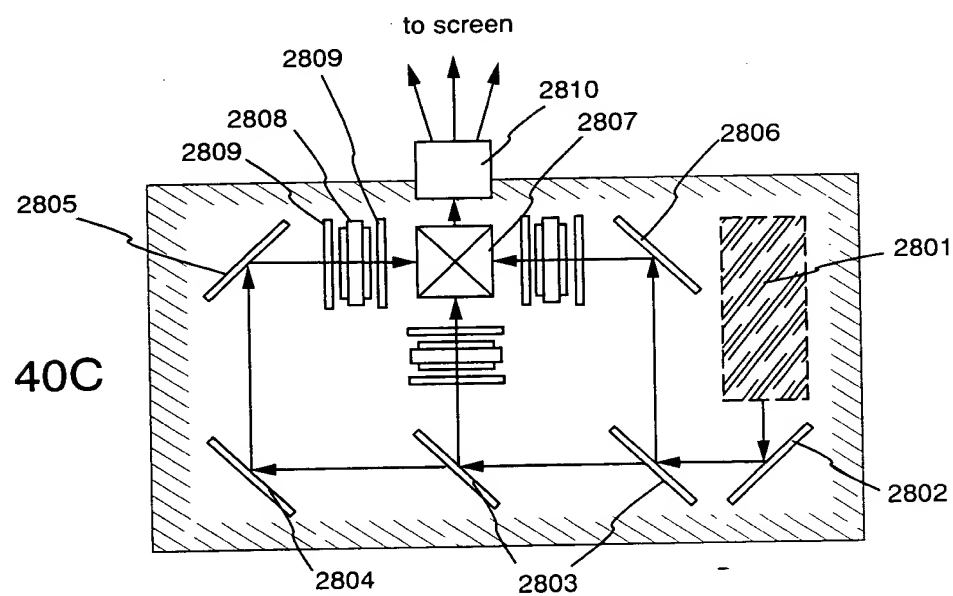


Fig. 40C

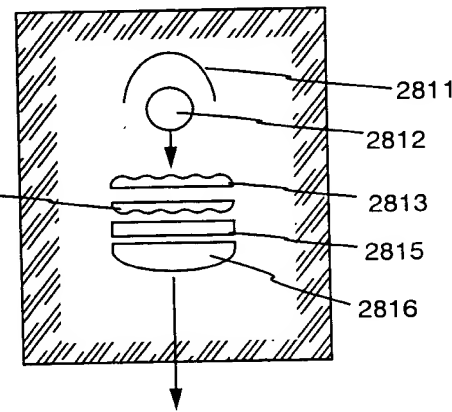


Fig. 40D

Fig. 41A

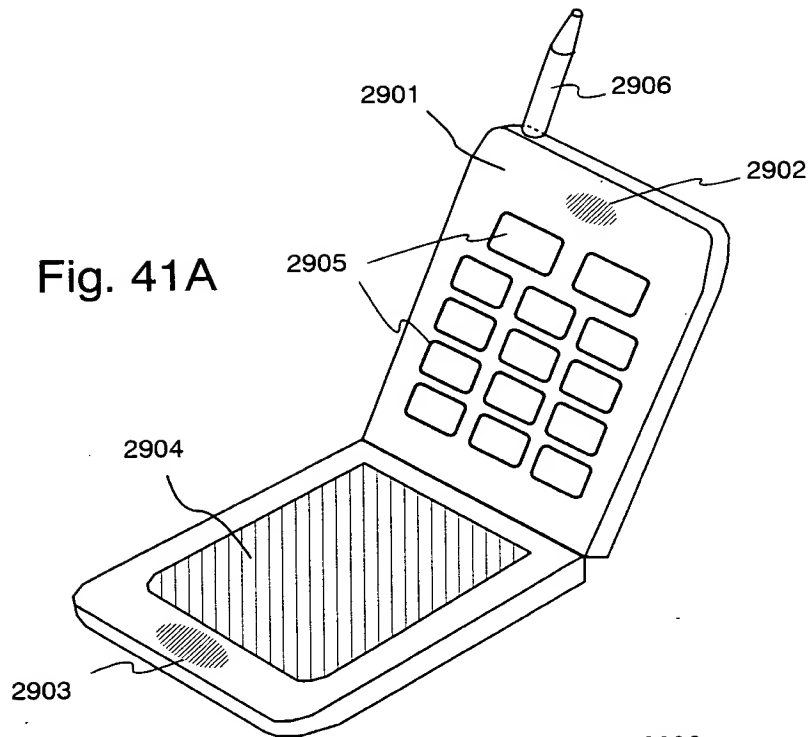


Fig. 41B

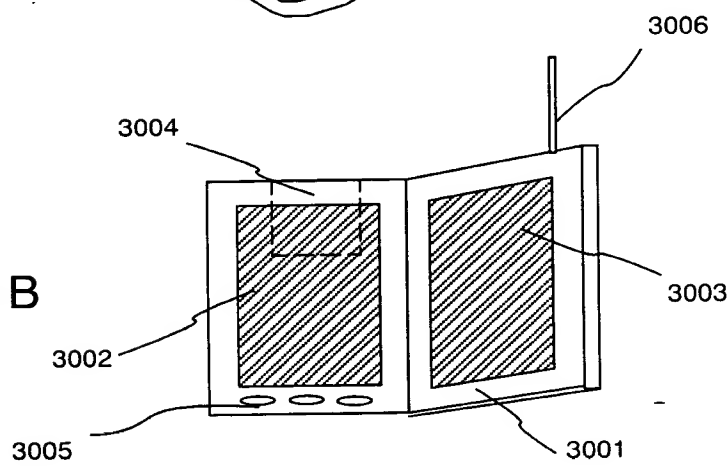
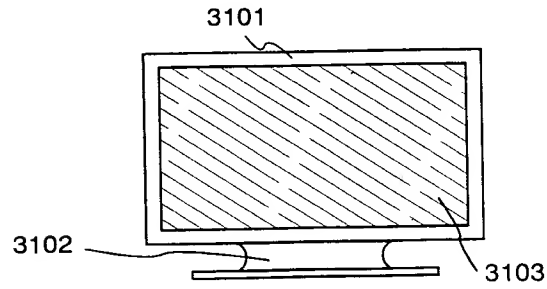


Fig. 41C



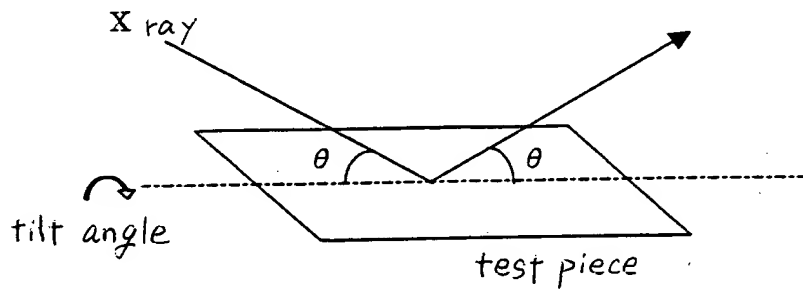


Fig. 42

DEGREE OF CRYSTALLINITY

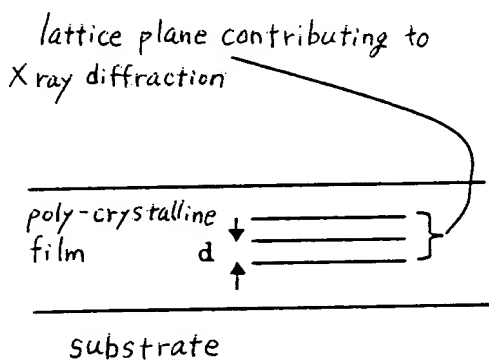


Fig. 43 A

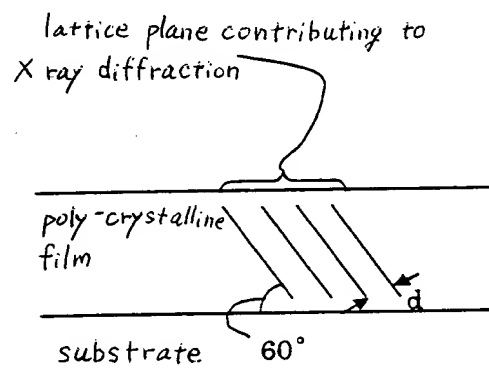
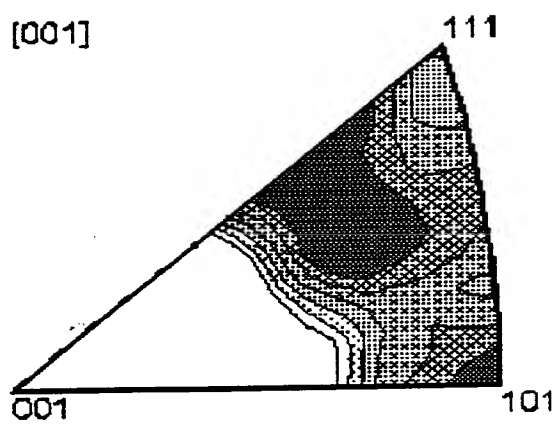


Fig. 43 B

Fig. 44



TOP SECRET // SECURITY INFORMATION

Fig. 45A

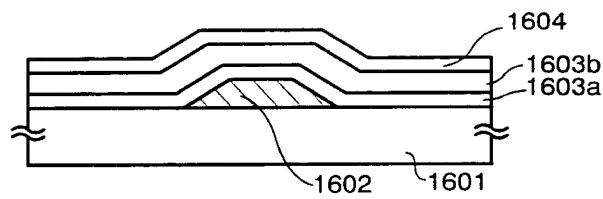


Fig. 45B

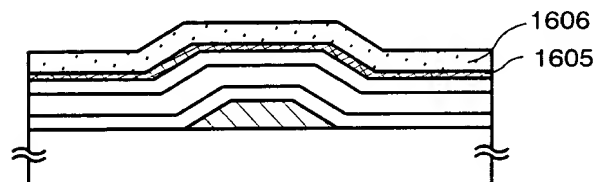


Fig. 45C

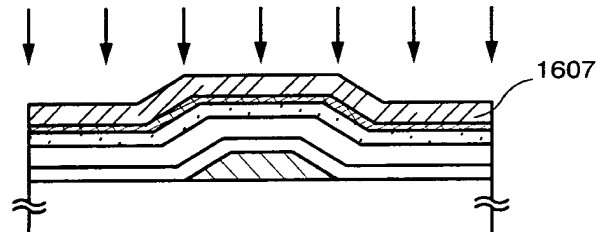


Fig. 45D

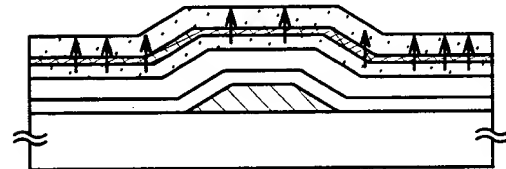


Fig. 45E

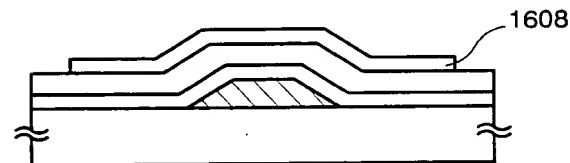


Fig. 46

